

CoO

C. O

1838

Dulong P. L

~~Compt.~~, 1838, 7, 84

C. r. Acad. sci.

COOL M

~~CoO~~

Bp - 722 - VI

1903

(Kp, ΔH_f)

Glaser F.

J. Anorg Chem

1903, 36 1-35

1910

CO₃O₄(m) NH₃H⁰

Mixter W.G.,

Amer. J. Sci., (4), 1910, 30, 193-

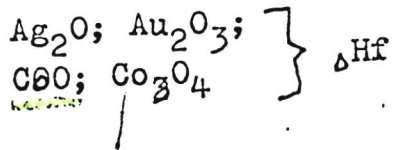
-201

V 2437

1911

Mixter W.G.

Am. J.Sci., 1911, 32, 202-6



M.

Ectostroph.

CoO, Co₃O₄, CuO, Cu₁₂O (k)

1921

Wöhler L., Balz. O.

kcp

Z. Elektrochem., 1921, 22, 406

1929

VI-681



Co (T_{tr})

Emmett P.H., Schultz J.F.

J.Am.Chem.Soc.1929,51,3249-62.

"Equilibrium in the system: carbonmonoxide-water-cobalt oxide-hydrogen. Free-energy change for the reaction CoO+H₂=Co+H₂O and the reaction Co+1/2O₂=CoO".

M,Be F

CA., 1930, 774.

CoO

Bsp - 721-VI

1930

Emmett P. H.

Schultz J. F.

(AFf)

J. Am. Chem. Soc.

1930, 52, 1782-93

1930

VI-733

CoO (K_p , αF^0)

Watanabe M.

Bull. Inst. Phys. Chem. Research (Tokyo),
9, 675-82.

Nos. 262-3 (1930).

M,

F

CA., 1931, 3224..

CoO

Bsp - 429 - VI

1931

Roth W. A.

Havékoss H

(Δ Hf)

Z. anorg. Chem.

1931, 195, 239-46.

BP-484-VI

1931

600

von Wartenberg H., et al

Z. Anorg. Chem., 1931, 196,
374.

T_s
T_m

1932

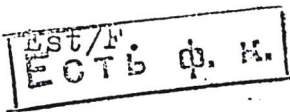
Bg-VI-482

NiO, CoO, Mn₃O₄, TiO₂ (Tm, Tsi)

Wartenberg H., Prophet E.

Z.anorg. Chem., 1932, 208, 369-79.

Be.



1932

Bep-VI-483

NiO, CoO, Mn₃O₄ (Tm)

v.Wartenberg H., Reusch H.J.

Z.anorg. allgem. chem. 1932, 208, 380-1.

"VI. Correction".

Есть / F.
[Есть ф. Н.]

Бе.

СЛ., 1933, 656.

1933

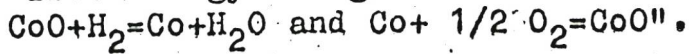
VI-731

CoO ($\Delta F_{298,1}$, $\Delta H_{298,1}$)

Shibata Z., Mori J.

J.Chem.Soc.Japan 1933, 54, 50-8.

"Free energy changes of the reactions:



M, Be

F

CA., 1933, 1807

B90 - 430 - VI

1933

CoO

Shibata Z.

Mori T.

SHf, AFF

Z. Anorg. Chem.

1933, 212, 305-16.

COO

Trivedi H.

1935

Proc. Acad. Sci. United
Provinces Agra Oudh,
India, 5, 27-33

Суккупор консистент
напіс об історії
Cu, Fe, Ni & Co в
cup - like вх мембр
цибулля



18

C00

BG - 724 - VI

1937

(Rp, Hf)

Yander W., Krieger et
Z. Anorg. allg. Chem.

1937, 232, 39-56.

CoO ($K; \Delta F_{298}$)

1934
Bφ - VI-737

Капустинский А.Ф., Гофман Е.

ж. физ. химии

1937, 9, 713-15.

"Equilibrium in the reduction of cobalt oxide by carbon monoxide".

Ест/Физ Ф. И.

М,

СА., 1937, 8329⁶

CoO

(Δ Hf)

1937
Bch - VI-725

Kapustinskij A.F., Hoffmann E.

1. Acta Physicochim. U.R.S.S. 1937

1937, 6, N4, 487-490

ESt/FB ф. к.

Circ.599

M

Bgp

v 1958

1937

von Wartenberg H., Reusch H.J. and Saran E.

L. Z. anorg. Chem. 230, 257-BD (1937)

Cu₂O, NiO, Mn₃O₄, CoO Tm

TiO₂ (Tm)

E.C.T.B. 4. K.

Circ. 500

Be.

Est. fotok.

1943

VI-727

CoO(S₂₉₈)

Co (Kp_f ΔH, ΔF, ΔS)

Kleppe O.J.

Svensk Kem.Tid. 1943, 55, 18-25,

Chem.Zentr. 1943, I, 1970

"The equilibrium CoO + H₂ = Co + H₂).

The molar entropy of cobaltic oxide".

J, M, Be,

F

CA, 1944, 4855⁹

P  $\text{CoO} \cdot \text{NiO} \cdot 1946$
 $\text{FeO}; \text{Fe}_3\text{O}_4$ VI 728

Lustman B.

Steel Processing 1946, 32, 669,
676

"Dissociation pressures of metal
oxides formed on various solid
metals"

C.A., 1947, 332h


Есть ~~есть~~ есть

МК

COO

A - 159 |

1947

Енисейск K.B.

(стаг)

Н. обнар. Худоев,
1947, 17(x), 169-170.

БФ VI 3536

1948

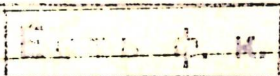
CoD, NiO, Fe₂CoO₄, Fe₂NiO₄ (Tm)

Булгакова Т.И., Терасимов Я.И.,

Синяков И.П., Кияко-Чубак И.Н.,

Ж. общей химии, 1948, 18, 154-164

Б, М



1948

BgP-VI-460

T_{tr}(MnO, FeO, NiO, CoO)

Foex M.

Compt. rend. 1948, 227, 193-4.

"A type of transformation common in
the lower oxides of manganese, iron,
cobalt, and nickel".

EsC/Pb Φ. H.

Be.

CA., 1948, 7592c

VI 726 1948

Klemm

1. "Fiat Review of German Science,
1939-1949. Inorganic Chemistry" I, II, III,
IV, V. Dieterich'sche Verlagsbuchhand-
lung, Wiesbaden, Germany (1948).

CoO

Tm

Circ. 500



5

R 6581

1949

Oxides Al, As, Ba, Ca, C, Co, Cr, H₂, Pb, Si,
Ti, Ag, Na, Sn, "Ku" (ΔH_f)

Osborn C.Y.,

Tids. Kjemi, Bergvesen Met., 1949, 9,
79-83.

A revision of the thermodynamic
properties of metallurgically impor-
tant oxides

ref 6 sec

C.A., 1951, 429c

1950

VI-494

Co₂O₃, CoO, Ni₂O₃, NiO(p), Ni₂O₃(s)

Чубаров Г.И., Журавлева М.Г., Татневская Е.И.
Люкл. АН СССР, 1950, 73, 1209-12.

Reduction and dissociation of oxides of
cobalt and of nickel.

Est/F

Есть ф. №

..., 1951, 426i

Бгп VI-479

FeO, MnO, NiO, CoO (ptr)

1950

Крист. Tombs N.C., Rooksby H.P.

Структура Nature 1950, 165, 442-443.

Structures of monoxides of some
transition elements at low temperatures.

СССР ИИАиЛ бывшеская

Ест/Ф Стб ф. И.

Бе.

CA., 1950, 44, 4674g

[50 TOM/ROO]

1950

Tonks N.C., Rooksby H.P.

Nature, 1950, 165, 442 - 443

Structure of oxides of some
transition elements at low
temperatures.

1950

CoO, Co₃O₄ (Δ F°)

Bgp VI-732

Valensi G.

Metaux e. Corrosion, 1950, 25, 283-91.

Oxidation of cobalt at high temperature.

Est/F.

ЕСТЬ Ф. К.

M, Be

CA., 1951, 10029e

Cov

1951

Rhys Rev.

1951, 82, 113

60 с погрешн.

т-ри переходят
в Тетра. структуру

1951
Cognac
(Tetra.
Hemic
288°C)

(Самые близк. в системе
Узлов. ф. Структуры нест. химия,
T. 2, с. 244 (2nd. Ed. May))

M.SASS/KOH?

CoO, MnTe(Ttr)

1953
Bp - VI-723

Greenwald S.

Acta crystallogr., 1953, 6, N5, 396-98.

The antiferromagnetic structure deformations in CoO and MnTe.

Be,

F

RX., 1954, N3, 14224.

Bcp V 1925

1953

Cr_2O_3 , MnO , MnS , MnTe , CoO , NiO , CuO , VO_2 (T_{tr})

Marwell L.R., McGuire T.R.

Revs. Mod. Phys., 1953, 25, N 1, 279-84

Antiferromagnetic resonance.

PJX., 1954, N 7, 21344

Be.

EOTB 9. 4.

Est.fotok.

1954

Bop - V1-458)

Cp(CoO, NiO)

Assayag G., Bizette H.,
C.r.Acad. Sci., 1954, 239, N3, 238-240.

Sur l'anomalie de la chaleur spécifique
de l'oxyde de cobalt CoO et des solutions
solides CoO-NiO et CoO-CuO.

RK., 1955, N14, 28446.

EST/F.
ECTB. Ph. M.
Bd

Боул, Кинз, Коннэй

1954.

60.

[VI]

Boyle B. J., Tung E. G.,

Cohway R. C.

J. Am. Chem. Soc., 1954, 76

3835-37.

Bsp

Пленка образована из NiO и CoO.

Гибкая образовательная форма

об-55-6-11250



Bsp - V 2019

1956.

Co_3O_4 ; CoCl_2 , CoO
 NiCl_2 , NiO (Kp)
 CuCl_2 , CuO

Смирнов В.И., Тихонов А.В.
Уд. АН СССР, Отп. техн. н., 1956, № 9, 48-54
О равновесии реакции взаимодействия хромогид
cobальта, никеля и меди с никелем.

PJM, 1957, 5559

W.

F

1957
ВсФ -VI-446

СоO, Со; NiO, Ni (Кр)

Грань Н.И., Цейдлер А.А.,
Извест.металлы, 1957, №4, 44-49.

Реакции между сплавом и шлаком в системах:

Fe-CO-O, Fe-Ni-O.

RM., 1957, 18782

W.

EST/F.
ЕСТЬ Ф. И.

Кицк BOP-467-VI

NiO King E.G. J. Am. Ch. S. 79, N10, 2399 | 1957

(Co, Co₃O₄)

C_p, S

Температурні коефіцієнти теплопровідності та
S_{298,15} NiO, CoO та Co₃O₄
изотерм Δ (Co₃O₄)

Коефіцієнт оптичної прозорості 50 % при 298°K.

NiO S_{298,15} = 9,08 ± 0,04 Icar/mass.yag.

CoO S_{298,15} = 12,66 ± 0,08

Co₃O₄ 24,5 ± 0,2



B97-VI 3645

1957

6003

CuO, NiO, Cu₂O, Ag₂O, Fe₂Se, PDS (Zn)

Munkkola li., Wagner Co.

J. Electrochem. Soc. 1957, 104, 116,
379-387

Measurements on ***

11,10

1957

VI-711

CoO, Co(Kr)

2CoO·SiO₂, CoO·SiO₂ (Δ Hf)

Лисовский Д.И.,

Сб. научн. тр. Моск. ин-т цветн. мет. и золота
и ВНИГО цветн. металлургии, 1957, №26, 74-93.

Восстановимость закиси и силикатов
закиси кобальта окисью углерода.

M

F

RM., 1958, 887z

BQ - 739 - VI

Семенов В.И. Дзгеев М.А. 1957

СО

СО₃ О₂ L.

Узб. Ак Род ССР, Сеп. горн. дела,
шахтостроение, стр-во и
строительство, 1957, № 1.
1, 94-101.

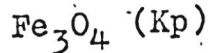
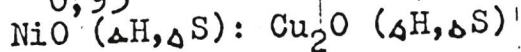
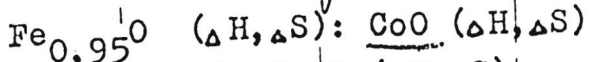
p(a.)

Об упрогости и гибкости
изделий из кобальта.

X-57-20-65657

Bgr-V 1956

1958



Peters H., Mann G.

Naturwissenschaften, 1958, 45, N 9, 209

Elektrochemische Untersuchung der Reduktionsgleichgewichte von Metallocyddn.

PJX., 1959, 7465

M.

F

БР-467-VI

1958

алл
Гильт, Крименелль.

G0 King E. G. christensen A. V., Jr.
C₂O₄ Oy. Amer. Min. Soc., 1958, 80, № 8,
4800-1801
Эти твердые оксиды поддаются
и никеля выше 298,15°K.
C₂ 298 (до 1800°K)

X-20-58-66751



1958
A-479

MnJ₂, FeJ₂, CoJ₂, NiJ₂, CuJ₂,
ZnJ₂, MnO, FeO, CoO, NiO, CuO, ZnO, MnCO₃, CoCO₃,
NiCO₃, CuCO₃, ZnCO₃, MnSO₄, FeSO₄, CoSO₄, NiSO₄,
CuSO₄, ZnSO₄, MnS, FeS, CoS, NiS, CuS, ZnS, MnSe,
FeSe, CoSe, NiSe, CuSe, ZnSe).

Est/F.

Джинварский К.Б.

Ж. неорг. химии, 1958, 3, N10, 2244-2252

RX., 1959, 26376

M,

EST F. K.

1980

CoO

равновесия
состава

✓ 14Б375. Изучение равновесия восстановления оксида кобальта водородом. Aubry Jacques, Gleitzer Charles. Etude de l'équilibre de réduction de l'oxyde de cobalt (II) par l'hydrogène. «Bull. Soc. chim. France», 1960, № 11-12, 2086—2087 (франц.).—Константа равновесия р-ции $\text{CoO} + \text{H}_2 = \text{Co} + \text{H}_2\text{O}$ вычислена из литературных термодинамич. данных в интервале 400—1400°. Зависимость $\lg K = [\text{H}_2\text{O}]/[\text{H}_2]$ от $1/T$ прямолинейна. Эксперим. измерения константы дают значительные расхождения у различных авторов, в особенности при высоких т-рах. Поэтому проведено опытное определение этой величины методом циркуляции смеси водорода с азотом и водяным паром. Эксперим. результаты описываются ур-ием $\lg K = 631/T + 0,85$, что хорошо совпадает с расчетными результатами.

А. Григорьевская

20.1961.14

1Б343. Равновесные условия в системах $\text{Co} - \text{O}$ и $\text{Co} - \text{O} - \text{H}_2$. Балакирев В. Ф., Чуфаров Г. И. «Докл. АН СССР», 1961, 138, № 1, 112—114.—Равновесия в системах $\text{Co}_3\text{O}_4 = 3\text{CoO} + \frac{1}{2}\text{O}_2$ (1) и $\text{CoO} + \text{H}_2 = \text{Co} + \text{H}_2\text{O}$ (2) изучались в ранее описанной установке с использованием набора манометров Мак-Леода. Для р-ции (1) $\lg P(\text{атм}, \text{O}_2) = -16522/T + 13,4$, $\Delta Z_T^\circ = -37794 - 30,652 T \text{ кал}$ ($923 - 1173^\circ \text{К}$). Для р-ции (2) $\lg K = 973,4/T + 0,52$ и $\Delta Z_T^\circ = -4457 - 2,381 T \text{ кал}$. На основании полученных данных вычислено для р-ции $\text{CoO} = \text{Co} + \frac{1}{2}\text{O}_2$ $\Delta Z_T^\circ = 55754 - 16,333 T \text{ кал}$. Исследование р-ции восстановления водородом $\text{Co}_3\text{O}_4 + \text{H}_2 = 3\text{CoO} + \text{H}_2\text{O}$ (3) затруднительно вследствие малого равновесного давления водорода. Используя экспериментальные данные для р-ции (1) и для константы равновесия диссоциации воды в данном температурном интервале, авторы вычислили для р-ции (3) $\Delta Z_T^\circ = -22413 - 16,699 T \text{ кал}$.

Л. Резницкий

CoO
 Co_3O_4

ΔZ

Б99 — №35-11

Х. 1962. 1

1961

V 718

P_p(ZnO, CoO, UO₃, MgO, FeO, NiO)

Kp(VO₃⁻, VO₄³⁻, VO₂)

Molina R.

Bull. Soc. Chim. France, 1961, N. 2,
301-308

Propretes chimiques de quelques
composes du vanadium dans les chlorures
alcalius fondus

Есть ф. к.

Ja

F

РХ., 1961, 24B38

1962

CoO

24B15. Отклонение от стехиометрии окиси двухвалентного кобальта. II. Gleitzer Charles. Non stoechiométrio de l'oxyde de cobalt. II. «Bull. Soc. chim. France», 1962, № 1, 75—77 (франц.).—Исследовалось отклонение от стехиометрии окиси $\text{Co}(2+)$ (I). Сплавленный образец I помещали в Pt-чашке в печь и подвергали действию O_2 при т-рах $1000\text{--}1400^\circ$ и давл. $(1\text{--}2) \cdot 10^{-12}$ атм. По достижении равновесия образец закаливали холодной водой и анализировали. Нестехиометрия I невелика и выражается в том, что содержание O больше, чем требуется для ф-лы CoO . Автор обсуждает возможные причины нестехиометрии и находит зависимость ее от давления O_2 . Е. Левина

Х. 1962. 24.

GLOCK) Lm. 22683 / 1963

Burdese A., Abbattista F.,
Damiare R.,

Kp, 1f; Le metallurgia italiana,
1963, N 11, 557 - 559.

1963

CoO

23 Б267. Зависимость электропроводности CoO , NiO и MnO от парциального равновесного давления кислорода при высоких температурах. Duquesnoy Alain, Marion Fernand. Sur les variations de la conductivité électrique des oxydes CoO , NiO et MnO en fonction de la pression partielle d'oxygène d'équilibre à haute température. «С. г. Acad. sci.», 1963, 256, № 13, 2862—2865 (франц.)

Исследовалась зависимость электропроводности CaO , NiO и MnO от давления кислорода (p) при $900—1200^\circ$. Найдено, что CoO и NiO имеют дырочную проводимость во всем исследованном интервале t - r и p , а MnO в области малых p имеет электронную проводимость, переходящую в дырочную проводимость по мере возрастания p . С повышением t -ры MnO точка перехода сдвигается в сторону больших p .

Г. Степанов

Х. 1963. 23

+2



VI 2052

1963

CoO, CoH, CoD (B_o, D_o, Y_o)

Klyunning L., Neuhäus H.

Z. Naturforsch., 1963, 18a, 1142.

CA, 1964, 60, NS, 4970e.

10

ЕСТЬ ОРИГИНАЛ

60

1963

23 Б309. Структурные и температурные факторы
CoO. Упо Ryosei. Structure factors and temperature
factors of CoO. «J. Phys. Soc. Japan», 1963, 18, № 11,
1686 (англ.)

С помощью дифрактометра на излучениях Mo- K_{α} ,
Fe- K_{α} и Cr- K_{α} измерены относительные интенсивности
серии отражений от порошка CoO. Параметр a куб. ре-
шетки 4,259 Å. Абс. значения $F^2(hkl)$ получены при учете
обобщенного температурного фактора $B=0,482$. Экстинк-
ция в расчет не принималась. Индивидуальные значения
фактора B (0,52 для Co^{2+} и 0,48 для O^{2-}) определены с
помощью трехмерного разностного синтеза электронной
плотности. Соответствующее значение амплитуды изо-
тропных тепловых колебаний обоих ионов 0,14 Å. Срав-

д. 1964. № 3

нение с данными, полученными ранее таким же путем для NiO, показывает, что величины $\Delta\rho = \rho(\text{эксп.}) (x, y, z) - \rho(\text{выч.}) (x, y, z)$ в случае CoO значительно выше. Ошибка в значениях $\Delta\rho$ оценивается в $\pm 0,25$ электрон/ A^3 . Приведены кривые $\Delta\rho$ в направлениях [100], [110] и [111].

А. Воронков

1964

CoO

20 Б416. Фазовая диаграмма моноокиси кобальта при высоких температурах. Fisher Bertina, Tapphauser D. S. The phase diagram of cobalt monoxide at high temperatures. «J. Electrochem. Soc.», 1964, 111, № 10, 1194—1196 (англ.)

Методами термогравиметрич. анализа и электрич. измерений определена область существования CoO и зависимость отношения Co : O от т-ры (920—1350°) и давления (p_{O_2} от 10^{-12} до 1 ат). Необходимое парц. давление кислорода достигалось пропусканием над исследуемыми образцами определенных смесей O_2 и CO_2 или CO_2 и CO. Приводимые результаты по измерению электропроводности представлены в форме зависимостей от параметра x в ф-ле CoO_{1+x} при различных т-рах. Кривые этой зависимости разбиваются на два участка, имеющих разный наклон, причем один участок соответствует более высоким парц. давлениям O_2 и

Х. 1965. 20

значениям $x > 1 \cdot 10^{-3}$, другой отвечает более низким давлениям. Объяснение этого явления дается на основе теории дефектов кристаллической решетки. Граница фаз CoO и Co₂ определялась по излому на кривой электропроводности. На границе фаз CoO — Co₃O₄ удалось получить только одну точку вследствие нестабильности Co₃O₄ при $p_0 < 1$ ат и $T > 920^\circ\text{C}$. Получено хорошее согласие с литературными данными (Cobalt Monograph, Brussels, 1960).

А. Розанов

196e9

VI-2301

CoO, CoS, Co₉S₈, CoSO₄, Co₃O₄(G⁰)

CoSO₄(Ttr, Δ Htr)

Ingraham T.R.

Can. Met. Quart, 1964, 3(3), 221-34.

Thermochemistry of the Co-S-O system from
950 to 1200°.

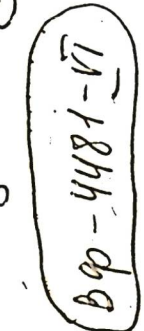
M, Be,

F

CA, 1965, 62, N3, 2495e

Co_2O_4	Moody G.J., Thomas J.D.R.	1964
Co_2O_3	J. Chem. Soc.,	
	1964, aug., 1967	
DH ₂ (paeris),		
DH ₂ -green queuonotos; baekken.	(Cll. Se_2O) I	

CoO



Bizette H.,
Mainard R.

[1985]

Cp

Bull. Soc. scient. Bretagne. Sci.
math., phys. et natur.,
~~1980~~(1985), 39, n° 2, 17-22

Литературе монографии
и рецензии по математике
бенгальской
(см. № 10) I

Данные по $C_p(CO)$ предста^{влены}
на рис. 2 иллюстрируются
 $(T = 150 - 310 K)$; $C_p(Kar/K \cdot mol)$ имеет
от $C_p(150 K) \approx 7$, $C_p(282 K, \text{ном.}) =$
 $= 19 \text{ ккал} \cdot K^{-1} \cdot mol^{-1}$, а затем сниз
 $C_p(300 K) \approx 13 \text{ ккал} \cdot K^{-1} \cdot mol^{-1}$
Прик. - 35-летний лето $\frac{(282-310 K)}{6-\text{год } C_p}$.

CoO

Cyggynus macrurus

1965

" sp.

CP-pa

" Rose Rose ourane yo -
kore, Tokyo kogyo
gikensho Ho ho-ku
Reptile Inst. Chem. Indust.
Res. Inst., Tokyo, 1965,
60, 410, 375-380

(See Fig 1)

Bp VI.2316

1965

NiO, CoO, Co_3O_2 (ΔH)

Visnyovszky L.

Kohasz. Lapok, 1965, 98 (6), 250-6

Investigation of the mechanism of reduction reactions by thermal analysis.

CA, 1965, 63, N 9, 10994d

M.,

F

Cm. NiO_x

Est. orig.

1965

VI-434

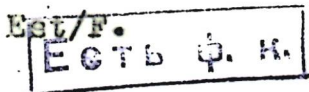
NiO, CoO (Ts, Tm)

von Wartenberg H., Gurre W.

J.Z.anorg.Chem.1965,374-83(1931)

Circ.500.

Be,



Omnibus 1043

1965

VI-3936

CuO, BeO, ZnO, CoO, MgO, NiO, CdO, PbO, CaO,
S₂O, BaO (A Haq)

Yokokawa T., KLeppa O.J.

Inorgan.Chem., 1965, 4, N12, 1806-808.

High-temperature calorimetry in liquid
xide systems. II. The enthalpies of solution
of oxides of type MO in vanadium (V) oxide.

RX., 1966, 16 532

orig.

1400

B

1966

Mo_x (Δ Hf)

VI-5778

M=Cu, Co, Mn, Cr, Mo, W, Fe, V, . Nb, Ti.

Пробл. Собрал. химик. воро. соср. Ленинск. гос. Унив.
Арца С.М.,

No 1, 183-214, 1966.

Координаты ячеек lattices. ~~оканчиваются~~
длины яч. ячейки подгрупп и соответствующих
им образований.

M, F

CA, 1967, 67, N8, 36935f

VI 6570

CoO

(Ttr)

1966

Bloch D., Chaisse F., Pauthenet R.,
J. Appl. Phys., 1966, 37, N 3, 1401-1402
Effects of hydrostatic pressure on the
magnetic ordering temperatures and the mag-
netization of some ionic compounds

PNC9 11E648

T

Col R. L. Clendenen, H. G. 1966

Dickamen.

J. Chem. Phys., 44, III,

4224-4228.

Зависимость напряжения
всё генерации обрывов
около 6 в спаргагол си
забореем 
1 cm. FeO/I

ВФ-VI-4410

1966

CoO

(Φ_0) (ras)

ΔH_s

5 E251. Масс-спектрометрическое исследование испарения окиси кобальта. Grimley R. T., Burds R. P., Langham Mark G. Mass-spectrometric study of the vaporization of cobalt oxide. «J. Chem. Phys.», 1966, 45, № 11, 4158—4162 (англ.)

Эффузионным методом в интервале т-р 15782—1744° К определены равновесные давления при испарении окиси кобальта, находящейся в равновесии с металлич. Co. Показано, что паровая фаза состоит из Co, O₂ и небольших кол-в CoO. Испарение CoO идет преимущественно путем диссоциации на компоненты. Для энергии диссоциации газообразных молекул CoO найдено значение 86,4 ккал/моль, для теплоты сублимации кристаллич. CoO получена величина 130,3 ккал/моль. В. Алексеев

91 · 1967 · 58

V 5974

1967

Co₂O₃, ZnO, CuO, Ni, FeO, α -Fe₂O₃, Fe₃O₄; α -Al₂O₃,
MnO, TiO₂, CrO₃, ZrO₂, V₂O₃, V₂O₅, GeO₂, α SiO₂, Y₂O₃,
UO₂, CeO₂; SuO, Su₂O₃, PbO, Pb₂O₃,
(0; cimab. uocr.)

Kammori O., Yamaguchi N., Sato K.

Japan Analyst, 1967, 16, v10, 1050-1055

CA, 1968, 69, v2, 6597w

10

Б4
CoO
5 В42. Кобальт закись. Вулик А. И., Пахомов Д. А., Кутолин С. А. В сб. «Методы получения хим. реактивов и препаратов». Вып. 16. М., 1967, 182—183

Разработан метод синтеза CoO (I), основанный на термической диссоциации Co₂O₃ (II) или Co₃O₄ (III) в вакууме. Для получения I фарфоровый тигель, содержащий 112 г II или 109 г III, помещают в реторту вакуумной электропечи. Т-ру печи повышают до 850° и одновременно реторту эвакуируют до 0,2—0,5 мм. При этих условиях синтез I занимает 60—90 мин., после чего реторту охлаждают до т-ры <50° и выгружают из нее полученный I. Выход серо-зеленого I 100 г (98%), чистота 99,7—99,9%. Т. пл. I ~1800°, ρ 6,4. При комнатной т-ре I вполне устойчив на воздухе, в H₂O нерастворим.

С. С. Бердоносов

Х. 1968. 5

CeO

B91-4681-V1

1967

Pm =
= 1800

101294h Cobalt(II) oxide. A. I. Vulikh, D. A. Pakhomov, and S. A. Kutolin. *Methody Poluch. Khim. Reaktivov Prep.* No. 16, 182-3(1967)(Russ). CoO was prepd. by thermal dissociation of Co_2O_3 or Co_3O_4 in a vacuum elec. furnace at 850° and 0.2-0.5 mm. Hg for 60-90 min. Upon cooling the product, vacuum was maintained. The product contained 99.7-9.9% CoO, m. 1600°, d. 6.4, g./cc. The yield was 98%.

J. Liskowacki

1800°C

C.A. 1968.68.22

TiO, VO, MnO, FeO, CoO, NiO

VI-5646

(ΔH_f *тогдашних*
записей)

1968.

Dickens P.G., Heckingbottom R.,
Linnett J.

Trans. Far. Soc., 1968, 64(6), 1489-98.

Calculation of the heats of formation of
point, defects in some transition metal
oxides.

Be, F

CA, 1968, 69, N6, 22642h

1968

G.O.

Coutures J.-P.,
Fœix M.

C. r. Acad. sci., C 267,
N 23, 1577.

$T_m =$
 $-2040 \pm 10 K$

Быстро гаечный
кислородный кислородный
зажим - герметик
жестко-модульная структура
переход. зажим-об. (ал. TiO₂)

Co

VI-5654

1968

~~118861u~~ Behavior of cobalt oxide during fusion in an oxidizing atmosphere. Marc Foex and Jean Pierre Coutres (Lab. Ultra-Refract., C.N.R.S., Montlouis, Fr.). *C. R. Acad. Sci., Paris, Ser. C* 266(11), 796-9(1968)(Fr). Similar to AgO, CoO takes on O when heated in air just above its m.p. of 1800° (1820°) and releases it with marked frothing as the melt solidifies. The compn. just before solidification is estd. as $\text{CoO}_{1.04}$; the release is strongly exothermic.

S. Goldwasser

$T_m = 18^{\circ}00$

- $18^{\circ}20^{\circ}\text{C}$

C.A. 1968. 68-26

CoO

Knop O., Reid et al.

1968

Canad. J. Chem., 1968, 46, 3463

Инст.

Стрекозин



Büchner & (Co₃O₄, CoO)

1868

Ley R. M.

VI 5414

J. phys. chem., 1868, 7, v 7, 2609-2614

AN X-ray study of the participation of the bulk phase of cobalt oxide in oxidation catalysis.
^(addn)

M, 5 (P)

6

Publ, 1869, 251025

1968

22 В20. Существование двух форм оксида кобальта.
 Ok Hang Nam, Muller James G. Evidence of
 two forms of cobaltous oxide. «Phys. Rev.», 1968, 168,
 № 2, 550—562 (англ.)

Методами рентгенографии, хим. анализа и изучением спектров Мёссбауэра установлено, что CoO существует в двух формах. Первую форму CoO (I) получали нагреванием металлич. Со в атмосфере CO_2 при 1000°C с последующим охлаждением продукта в атмосфере Не до -196°C . I в-во желтого цвета, устойчивое на воздухе при $\sim 20^\circ$. I имеет структуру NaCl с параметром решетки $a = 4,26\text{\AA}$; ρ (рент.) 6,4. Вторую форму CoO (II) синтезируют или разложением $\text{Co}(\text{NO}_3)_2$ при 200° с последующим восстановлением Co_2O_3 газ. H_2 при 210° или разложением при 300° в вакууме CoCO_3 , полученного кипячением CoCl_2 с NaHCO_3 в атмосфере CO_2 или Аг. II также имеет структуру типа NaCl с ρ (рент.) 3,2. Найдено, что при $\sim 20^\circ$ II сильно поглощает газ. O_2 . Получен также CoO (III), состоящий из I и II, нагре-

60

T₂

химия

X. 1968. 22

ванием металлич. Со или $\text{Co}(\text{NO}_3)_2$ на воздухе или в инертной атмосфере при 1000° . Показано, что I имеет стехиометрию, близкую к идеальной, а у II половина мест, занимаемых положительными и отрицательными ионами, вакантна. Структура II является неустойчивой и при т-ре 300° в инертной атмосфере переходит в I. Установлено, что при низкой т-ре III является смесью I и II, а при т-ре $>200^\circ\text{K}$ имеет место взаимодействие I и II, в результате к-рого анионные вакансии II проникают в решетку I.

В. Р. Бердников

Ok Hang Nam, Mullen, 1968

CoO

полиморфизм

T₂

10 E771. Данные о существовании двух форм окиси кобальта. Ok Hang Nam, Mullen James G. Evidence of two forms of cobaltous oxide. «Phys. Rev.», 1968, 168, № 2, 550—562 (англ.)

Установлено существование двух форм окиси кобальта, CoO(I) с идеальной структурой типа NaCl и CoO(II), для которой половина узлов кристаллической решетки вакантны (при равном числе анионных и катионных вакансий). Обе формы CoO исследованы методами химического и рентгеноструктурного анализа, а также

CoO I

CoO II

d = 6,4

d = 3,2

[68 OKH / МЧЛ]

09. 1968. 108

помощью эффекта Мёссбауэра (в последнем случае исследовались спектры поглощения для ядер примесных ионов железа в CoO). CoO(I) имеет плотность $6,4 \text{ г/см}^3$, т-ру Нееля 288°K , характеристич. мёссбауэровскую т-ру 510°K ; для CoO(II) эти характеристики равны соответственно $3,2 \text{ г/см}^3$, 270 и 320°K . Примесные ионы железа могут присутствовать в CoO(I) только в форме Fe^{2+} , тогда как в CoO(II) — только в форме Fe^{3+} . Исследовано влияние на свойства CoO(I) и CoO(II) давления и т-ры. Описаны методы получения двух форм окиси кобальта.

Н. Н. Делягин

1968

Co

17132b Enthalpies and entropies during the oxidation of metals through cation vacancies (cobalt, nickel, copper). Smith Tennyson (North Amer. Aviat. Sci. Center, Thousand Oaks, Calif.). *Tr. Mezhdunar. Kongr. Korroz. Metal.*, 3rd 1966 (Pub. 1968), 4, 71-84 (Russ). Edited by Lesteva, N. D. Izd. "Mir": Moscow, USSR. Equations were derived for the rate const. for parabolic rate of oxidn. of metals through cationic vacancies, and for elec. cond. of oxide in which the current passes through pos. holes from singly ionized vacancies. The equations involve enthalpies and entropies of vacancies formation, dissociation of pos. holes from vacancies, and of activation of diffusion of vacancies. Exptl. results from various authors on elec. cond. of NiO as a function of temp. were summarized and ΔH for the above mentioned processes were estd. Some of these were obtained also from the dependence of elec. cond. of NiO on the O pressure. Diffusion and oxidn. expts. on Ni alloyed with Li

ASf bauake

cui

- NiO : Cu₂O

(t2)

C.A. 1969

71-24

(X)

yielded both ΔH and ΔS values. The entropy gain in the formation of cationic vacancies and in dissocn. of a vacancy to form a pos. hole was due mainly to O transfer into the gaseous phase and to the relaxation of the cations close to the vacancy. Thermodynamic data for CoO and Cu₂O were also given. Activation energy of vacancy movement drops by 10 kcal./mole in each step on going from CoO to NiO and Cu₂O. The ΔS of vacancy formation was approx. the same for CoO and NiO, but not so for

J. Hala

Co-O

Анис С. Н.,
Морозова М. П.

1969

SH
(взятое
от инокса
при кислото-
ге в фильт-
рущем NO₂)

н. газ. химии,

1969, 43, 12, 3007



(Cu. Co-O) I

1969

CoO (T_{tr})

Holzapfel M., Drickamer H.G.,

Phys. Rev., 1969, 323. - 324

T

1969

CoO(H_2O)₂

Ornstein 1862

Leo Brewer, Gerd Rosenblatt.
"Adv. in High Temp. Chem."
1969, 2, I-83.

ΔH_f° 292

CoO-MnO

7108-VI

1968

Seethiaramamurthy S., Abraham
K.P.,

Scripta metallurg.,
1969, 3 N12, 911-915

Activity measurements in CoO-MnO
solid solutions.

(AlMn)
(AlAg)

PbO₂; Co₃O₄; MnO₂(Fe) b t. 1969
14 VI 6792.

ellipticum L.B.; Mauritius 10. II.

ST. Q. 713. Kunming 1969, 43(2), 2012-15.

UMLERIAE. GARDENIALE ELLIPTICA
2012.
REPORTEDLY PERENNIAL
SHRUB - B.

5 (Q)

9 PA, 1969, 41, No. 19164.

CoO, NiO, Cu₂O (250р. баками) 1969

Smith F.

6

VII 67 98

Приезд Межународного Комитета
по прогнозам Меморандум, Зе 1979, 1966,
(Октябрь 1968) 4, № 1-81

Регистрация в земельном реестре
окончательно завершена в 1979 году
согласно Кодексу Государственного
права СССР, 1977 год.

5

7

CD 1969 #1 1979.11.17/1394

LBP-7148-VI

1969

CoO

Williams, H. W.

Chamberland B.Z.

Analyst. Chem., 41 (14),
2084.

Ptr

(See. Sol) T

COO

1969

Wilson, Timothy M.

Wilkins, Int. J. Quantum. Chem., Symp."
Aug 1969(Pub. 1970), 3, (pt. 2)
757-74.

(crys. TiO_2 , III)

CoO

Co₃O₄

DG f

[Om. 20106]

1970

16346f Solid electrolyte galvanic cell studies: free energies of formation of CoO and Co₃O₄. Bugden, Walter G.; Pratt, John N. (Dep. Phys. Met. Sci. Mater, Univ. Birmingham; Birmingham, Engl.). *Inst. Mining Met., Trans., Sect. C* 1970, 79 (Sept.), C221-C225 (Eng). The std. free energy of formation of CoO and that of the reaction $3\text{CoO} + 1/2\text{O}_2 = \text{Co}_3\text{O}_4$ have been detd. in the range 800-1200°K from measurements on reversible galvanic cells of the form Co.CoO | O²⁻ | Cu.Cu₂O, Co.CoO | O²⁻ | Ni.NiO, Cu.Cu₂O | O²⁻ | CoO.Co₃O₄, and Ni.NiO | O²⁻ | CoO.Co₃O₄. Solid oxide electrolytes employed were of calcia- or mangesia-stabilized zirconia in the form of small open crucibles exposed to a common gaseous environment. The validity of this technique is discussed on the basis of the results for these and other cells. James W. Brown

C.A. 1981 X 4

CoO(x)

[OM. 21765]

1970

Fischer W.A., Patasky G.

$K_p, \Delta_f H^0,$
zgc

Arch. Eisenhüttenwesen,
1970, 41, Nr. 661-673.

1970

600

Киричук Т. Ф.,
Даудеев Г. Н.

Do (pacien)

= 2,9 ab

M. goes. xeeeee,

1970, 44, №, 2142.

I



(See TIO) 44

CoO

VI-4810 | 1970
Турмасіев А.

Сб. Тр. Ошск. нег. ин-та
бюл. 8, 106.

однажды

[$\text{Co}(\text{OH})_2 \cdot \text{H}_2\text{O}$]

Со

ВФ - VI - 7691

1970

4 E865. Теплоемкость СоO вблизи T_N . Анизотропные эффекты. Salamon M. B. Specific heat of CoO near T_N : anisotropy effects. «Phys. Rev. B: Solid State», 1970, 2, № 1, 214—220 (англ.)

Описана установка для измерения теплоемкости (c_p) тонких пластинок с помощью метода периодич. нагрева, источником которого являлась кварцево-йодидная лампа. Для регистрации колебаний т-ры использована хромель-алюмелевая термопара. Калибровочные результаты для меди совпали с литературными в пределах 10%, повторив температурный ход с точностью в 1%. С помощью этой методики исследована c_p СоO в диапазоне относ. т-р 10^{-1} — 10^{-4} от т-ры Нееля. Полученные результаты хорошо описываются в рамках трехмерной модели Изинга с критич. индексами $\alpha'=0,05$ $T < T_N$ и $\alpha=0,02$ $T > T_N$. Далее обсуждаются источники

ГР

09. 1971.

42

[708A2]

анизотропного обменного взаимодействия между ионами Со и их влияние на поведение c_p в-ва вблизи критич. точки, теоретически предсказывается, по аналогии с моделью Изинга, поведение c_p вблизи критич. точки с учетом слабоанизотропного обменного гамильтониана. Показано, что локальная анизотропия пропорциональна параметру ближнего порядка и устойчива выше T_N .
Библ. 20.

В. Е. Зиновьев

1970

CoO Specific heat of CoO near T_N : anisotropy effects.
Salamon, Myron B. (Dep. Phys. Mater. Res. Lab., Univ. Illinois, Urbana, Ill.). *Phys. Rev. B* 1970, [3]2(1), 214-20 (Eng). The sp. heat of CoO single crystals has been measured near the Neel temp., using steady-state a.c. calorimetry. The crit. exponents are $\alpha' = 0.05 \pm 0.02$ and $\alpha = 0.12 \pm 0.01$, which are very close to the predictions of the 3-dimensional Ising model. Further, the actual values of the data (relative to pure Cu) are fitted very closely above T_N by the analytic form of the Ising sp. heat. Recent theories have predicted Ising-like behavior near T_N for slightly anisotropic exchange Hamiltonians. From a calcn. of the effective spin Hamiltonian, a local pseudodipolar term is induced by magnetostriction. Use of a pair-cluster approxn. shows that this local anisotropy is proportional to the short-range order parameter and persists above T_N . At T_N , the ratio $J_{||}/J_{\perp}$ is ~ 1.02 . This leads to the prediction of Ising-like behavior for $|T/T_N - 1| \lesssim 10^{-3}$, which is borne out by the data.

RCSF

Bp-VI-7691

C.A. 1971. 44. 8

CoO

Тегаuchi

1972

?) 17 Б376. Рентгенографическое исследование фазового перехода в CoO. Тегаuchi Hikagi, Nakatsu Kazumi X-ray study of phase transition in CoO. «Kwansei Gakuin Univ. Ann. Stud.», 1972, 21, 89—93 (англ.)

T_t

Методом низкот-рной рентгенографии с использованием криостатной камеры проведено исследование антиферромагнитного фазового перехода в CoO, обусловленного тетрагон.искажением решетки и переориентацией с упорядочением спинов атомов Co. Т-рная зависимость степени тетрагональности решетки прослеживалась по расщеплению рефлекса (420) на дифрактограммах порошка. Разность ($a - c$) падает с увеличением т-ры и при т-ре Нееля T_N, равной 284° К, резко сни-

X. 1973 N 17

жается до нуля. Отсутствие скачка в этой зависимости при T_N дало основание отнести фазовый переход в CoO к переходу 2-го рода. Подсчет свободной энергии процесса показал, что степень тетрагональности пропорциональна величине рассчитанного спина иона Co^{2+} , однако существенное расхождение в характере экспериментально наблюдавшейся и теоретически подсчитанной зависимости степени тетрагональности от температуры, показало недостаточность принятого приближения. Анализом интенсивности диффузного рассеяния получено, что выше температуры T_N она пропорциональна $(T - T_N)^{-1}$. С использованием метода рентгеновской топографии проведено исследование доменной структуры антиферромагнитной фазы, кристаллы которой были подвергнуты предварительной отжигу при температуре 1400° . При этом, кроме больших тетрагональных доменов, обнаружены также весьма малые ромбоэдрические домены с огранкой $\langle 010 \rangle$ и $\langle 110 \rangle$, заключенные внутри больших доменов. На этом основании сделан вывод о моноосном, а не многоосном, характере спинового упорядочения в антиферромагнитной фазе. С. В. Соболева

CoO_x Fryt, Ewa; Mrowec, Stanislaw; 1972
et. al.

Zesz. Nauk. Akad. Gorn.-Kutr.,
Krakow, Zesz. Spec. 1972, 30, 131-47
(Pol).

Study of the defect structure and
self-diffusion in cobalt oxide by a
kinetic method.

C.A. 1974. 81. N 12 69477a.

CoO

1972

Macdonald, Digby D.,
et al.

164

"At. Energy Can. Ltd., AECL"
1972, AECL-4138, 48pp.

(aer. Co; T)

1872-

CoO

119092r Short-range magnetic order in cobalt oxide. Rechtin, M. D.; Averbach, B. L. (Dep. Metall. Mater. Sci., Massachusetts Inst. Technol., Cambridge, Mass.). *Phys. Rev. B* 1972, [3]5(7), 2693-704 (Eng). The local spin correlation in CoO was investigated above the Neel temp. ($T_N \cong 289^{\circ}\text{K}$) by means of magnetic-neutron-scattering measurements of the diffuse intensity from a single crystal near the (111) position in reciprocal space. Spin-correlation parameters were detd. out to 50 neighbors for $T_N/T = 0.93$ and 0.97. The measurements in-

T_{Neel}

C.A. 1872

\$6.20

dicate that the fundamental antiferromagnetic spin order, which involves antiparallel layers of spins on alternate {111} planes, is retained above T_N . One notable exception is that the nearest spin-correlation value is approx. -0.01, and not zero as in the completely ordered state. The topological features of the (111) diffuse peak were utilized to ascertain the relative values of V_1 , V_2 , and V_3 , the 1st-3 neighbor potentials. By assuming V_3 to be zero, it is found that $V_2/V_1 = 7$. When a nonzero is included V_3 , it was only possible to restrict the set $(V_2/V_1, V_3/V_1)$ to a range of values. On applying a qual. correction for the spin-orbit coupling, it was concluded that the most probable set of potential ratios was $V_2/V_1 = 5.0$ and $V_3/V_1 = +0.1$. From these ratios $J_1 \cong -3.3$, $J_2 \cong -16.6$, and $J_3 \cong -0.3^\circ\text{K}$.

1972

 Co_3O_4 CoO Kр

14 Б723. Масс-спектрометрическое изучение испарения окислов кобальта. Чижиков Д. М., Цветков Ю. В., Казенас Е. К., Тагиров В. К. «Ж. неорганической химии», 1972, 17, № 4, 891—894

Масс-спектрометрическое исследование компонентов пара в равновесии с Co_3O_4 (тв) в области 850—950° К и с CoO (тв) в интервале 1540—1794° К показало, что парогазовая фаза над Co_3O_4 (тв) состоит из O_2 , а над CoO (тв) из Co(g) и $\text{O}_2(\text{г})$ и малых кол-в CoO(g) . Изменено давл. диссоциации Co_3O_4 и давл. парогазовых компонентов над CoO (тв).

Резюме

X 1972 14

Col(m6)

1973

Bardin Y, et al

mcu I, emp. 228

298-2078

• (mcu AgF)I

1973

CoO

(ΔGf)

97651e Thermodynamic studies of liquid copper alloys by electromotive force method. Copper-oxygen, copper-iron-oxygen, and copper-iron. Kulkarni, A. D. (Chase Brass and Copper Co., Cleveland, Ohio). *Met. Trans.* 1973, 4(7), 1713-21 (Eng). O activities in liq. Cu-O and Cu-Fe-O alloys were measured at 1100-1300° by the solid oxide electrolyte emf. method with mixts. of Ni-NiO and Co-CoO as ref. electrodes. The Cu-O and Cu-Fe-O alloys were analyzed for Fe and/or O content. The activity coeff. of O at infinite diln. in liq. Cu was 0.115, 0.195, or 0.286 at 1100, 1200, or 1300°, resp. The results were compared with those of previous investigations on the Cu-O system, and the best equation for the free energy of soln. is suggested. The std. free energy of formation of CoO(s) was calcd. at the exptl. temps. In the liq. Cu-Fe-O system at 1200°, a min. in O solv. is reached at 1.1 at. % Fe in the alloy. The interaction coeff., ϵ_0^{Fe} , is -565 at 1200°. Fe activities in liq. Cu-Fe alloys were calcd. at 1100 and 1200°, and a strong pos. deviation from ideality was obsd. The excess free energy and entropy at infinite diln. for Fe in liq. Cu are also given.

Nat L. Shepard

CA 1973 79 N/6

30-18-6159

Ch, TE

(ΔH°) α -NiO; CoO;

40891

1973

BP-XVII-1281

Ren H. Carvalho J.F.R.Guedes de.

Equilibria of the reduction of NiO and CoO with hydrogen measured with a palladium membrane.

"J. Chem. Thermodyn.", 1973, 5, N3, 387-391

(англ.)

334 335

889

(см NiO; I)

ВМНИИТИ

CoO_{1+y}

1974

4 Б868. Изучение нестехиометрических составов окиси кобальта. Jae Shi Choi, Chul Hyun Yo. Study of the nonstoichiometric compositions of cobaltous oxide. «Inorg. Chem.», 1974, 13, № 7, 1720—1724 (англ.)

В интервале $T = 500—1200^\circ\text{C}$ помощью кварцевых микровесов определены величины y в нестехиометрическом окисле CoO_{1+y} при различных давл. кислорода P_O_2 . Показано, что при постоянном давл. величина $\lg y$ зависит от $10^3/T$ линейно, уменьшаясь с ростом T -ры, причем при T -рах $835—890^\circ$ на прямых существует переходная точка (ПТ), где их наклон меняется. При вы-

(диф)

(ПТ)

д. 1975. №

соких т-рах наклон прямой $\lg y = f(10^3/T)$, град. Процесс образования CoO_{1+y} выражен ур-ием $\text{CoO}(\text{тв.}) + \frac{1}{n}\text{O}_2 = \text{CoO}(\text{тв.}) + V_m + (2/n)\text{O}$ (в решетке) (1); где V_m — мол. конц-я ионизированных вакансий в решетке, пропорциональная y . Показано, что для константы равновесия K_x р-ции (1) справедливо соотношение $y \propto K_x P_{\text{O}_2}^{1/n}$ (2). С помощью соотношения (2) из наклона прямой $\lg y = f(\lg P_{\text{O}_2})$ определены значения n при различных т-рах в интервале давл. P_{O_2} 10^{-1} — 10^{-3} мм. Величина n растет с ростом т-ры и уменьшением P_{O_2} и составляет при 500 и 1200° соотв. 12 и $2,8$. По наклону прямой $\lg y = f(10^3/T)$ получены значения ΔH_f энталпии образования CoO_{1+y} при различных P_{O_2} . Величина ΔH_f растет с ростом давл. и составляет для $P_{\text{O}_2} = 152$ и $0,001$ мм выше ПТ соотв. $-0,57$ и $-2,06$ ккал/моль; выше ПТ соотв. $-1,37$ и $-15,8$ ккал/моль.

М. В. Коробов

1974

CoO_xCo₃O₄ XVI-1782Co₂SiO₄

(P)

149339b Chromatographic study of heterogeneous equilibrium in cobalt-oxygen and cobalt monoxide-silicon dioxide systems. Mel'nik, Yu. I.; Chizhikov, D. M.; Tsvetkov, Yu. V.; Kazenov, E. (Inst. Metall. im. Baikova, Moscow, USSR). *Zh. Fiz. Khim.* 1974, 48(1), 118-21 (Russ). The equil. pressure (P) of O above CoO-Co₃O₄ mixts. was measured at 760-870°. The temp. (T) dependence of P is: $\log P(\text{atm.}) = (-17,700/T) + 14.36$ corresponding to ΔG° (kcal/mole) = $40.50 - 32.85 \times 10^{-3}T$. Analogously, the exptl. detd. (800-1150°) T dependence of log P above CoO is $\log P(\text{atm.}) = (-24,300/T) + 7.10$ and ΔG° (1073-1423°K, kcal/mole) = $55.60 - 16.24 \times 10^{-3}T$; and above Co₂SiO₄ is $\log P(\text{atm.}) = (-26,380/T) + 8.14$ and ΔG° (kcal/mole at 1073-1423°K) = $120.70 - 37.24 \times 10^{-3}T$.

+ 1 A

C.A. 1974. 80. N26

CoO_x

XVI-1782

1974

11 Б739. Изучение гетерогенного равновесия в системах $\text{Co}-\text{O}$ и $\text{CoO}-\text{SiO}_2$ методом хроматографии. Мельник Ю. И., Чижиков Д. М., Цветков Ю. В., Казенас Е. К. «Ж. физ. химии», 1974, 48, № 1, 118—121

(k_p)

Прямым методом в интервале $760-870^\circ$ измерено равновесное давление кислорода над закисью—окисью кобальта. Полученные данные описываются уравнением $\lg P_{\text{O}_2} = (-17700/T) + 14,36$ атм. Косвенным методом в интервале $800-1150^\circ$ измерено равновесное давление кислорода над закисью и ортосиликатом кобальта, к-рые

соотв. равны: $\lg P_{\text{O}_2} = (-24300/T) + 7,10$ атм
 $\lg P_{\text{O}_2} = (-26380/T) + 8,14$ атм.

Автореферат

Х. 1974 № 11

8(+)

$\text{Co}_2\text{SiO}_4(k_p)$

1974

CoO

NiO

Tneel

86: 114200w Dielectric and mechanical losses in cobalt(II) oxide and nickel(II) oxide single crystals grown by an electric arc transfer method. Postnikov, V. S.; Gridnev, S. A.; Mochalov, M. M.; Turkov, S. K. (Voronezh. Politekh. Inst., Voronezh, USSR). *Sb. Ref. - Vses. Konf. "Fiz. Dielektr. Perspekt. Ec Razv." 1973 (Pub. 1974), 2, 51 (Russ).* Edited by Koikov, S. N.; Semushkin, G. B. Leningr. Politekh. Inst.: Leningrad, USSR. The dielec. consts. (ϵ) of CoO and NiO single crystals at room temp. were somewhat higher than expected for ionic crystals (10-20); with increasing temp., ϵ increased rapidly to 10^3 - 10^4 , and with increasing frequency, it decreased considerably. Two max. were obsd. in the temp. dependence of $\tan \delta$ for NiO, at 0 and 50°. Internal friction (Q^{-1}) peaks were obsd. for CoO near the Neel temp. (~190°) and at -180°, whereas for NiO, no Q^{-1} peak was obsd. at the Neel point or up to 200° below it.

(71)

C.A.1977, 86 N16

1974

CoOMgO

8 Б831. Определение термодинамических свойств твердых растворов CoO и MgO с использованием гальванической ячейки с твердым электролитом в температурной области от 1273 до 1473° К. Rigaud M., Giovannetti G., Hoge M. Determination of the thermodynamic properties of solid solutions of CoO and MgO by a solid-electrolyte galvanic cell in the temperature range 1273 to 1473 K. «J. Chem. Thermodyn.», 1974, 6, № 10, 993—998 (англ.)

В интервале т-р 1273—1473° К измерены э. д. с. гальванич. ячейки с тв. электролитом и разделенным газ. электродным пространством вида $Pt|Co, xCoO+(1-x)MgO|ZrO_2+15$ мол.% CoO | Co | Pt для $x=0,063, 0,258, 0,453, 0,593$ и $0,889$. Токообразующему процессу ячейки соответствует равновесие CoO (тв.) = CoO (тв. р-р).

(+) 18

x. 1975

N 8

Значения разности хим. потенциалов тв. СоO и СоO в тв. р-ре для тв. р-ров указанного состава составили соотв.: 1173°K 3442 ± 203 , 1740 ± 89 , 1137 ± 107 , 778 ± 126 , 121 ± 123 ; 1273°K 4136 ± 167 , 2065 ± 71 , 1426 ± 103 , 1013 ± 109 , 252 ± 101 ; 1373°K 4829 ± 155 , 2390 ± 66 , 1716 ± 82 , 1247 ± 103 , 383 ± 93 ; 1473°K 5523 ± 173 , 2715 ± 72 , 2005 ± 89 , 1482 ± 113 , 514 ± 102 кал/моль. Рассчитаны коэф. активности и активности СоO и MgO. При 1273°K активности Со в р-рах указанных составов равны соотв. $0,193 \pm 0,007$, $0,440 \pm 0,007$, $0,57 \pm 0,01$, $0,67 \pm 0,014$ и $0,90 \pm 0,016$. Изученные р-ры проявляют незначит. отклонения от идеального поведения. Полученные результаты не согласуются с лит. данными.

А. Гузей

C.O. JANAF Suppl 1974
(K)

0-3000°

СоO

отмечена 5690

1974

(G_P)

20 Б679. Одновременное измерение термической диффузии и теплоемкости вблизи фазовых переходов. Salamon M. B., Gagnier P. R., Golding B., Buehler E. Simultaneous measurement of the thermal diffusivity and specific heat near phase transitions. «J. Phys. and Chem. Solids», 1974, 35, № 7, 851—859 (англ.)

Проведены измерения абс. термич. диффузии одновременно с. относит. теплоемкостью вблизи различных фазовых переходов. С применением предложенных методов расчета измерены термич. диффузия и теплоемкость СоO вблизи антиферромагнитного фазового перехода, SrTiO₃ вблизи структурного фазового перехода, Сг вблизи точки магнитного перехода 1-го рода из



SrTiO₃



Сг (cp)
EuO

х. 1974. № 20

антиферромагнитного состояния в парамагнитное состояние при 311°К и EuO вблизи ферромагнитной точки Кюри. За исключением SrTiO₃ для всех в-в термич. диффузия имеет обратную зависимость от теплоемкости в тех случаях, когда теплопроводность не обнаруживает аномалий, что расходится с прежними исследованиями. Увеличение теплопроводности наблюдается при прохождении через точку структурного фазового перехода в SrTiO₃, ниже к-рой наблюдаются те же самые изменения по мере понижения теплоемкости при T_c . А. В. Салов

CoO

4557

1974

Omneeca 5610

(C_p)

30576g Simultaneous measurement of the thermal diffusivity and specific heat near phase transitions. Salamon, M. B.; Garnier, P. R.; Golding, B.; Buehler, E. (Dep. Phys., Univ. Illinois, Urbana, Ill.). *J. Phys. Chem. Solids* 1974, 35(7), 851-9 (Eng). A technique for measuring the abs. thermal diffusivity along with the relative sp. heat is introduced which is readily adaptable to a wide variety of applications. The thermal diffusivity and sp. heat of CoO, near the antiferromagnetic

③ Ge, ScTiO₃, EuO

C.A. 1974. 81. N.Y.

☒

transition; of SrTiO₃, near the structural phase transition; of Cr, near the 1st-order SDW-paramagnetic transition; and of EuO, near the ferromagnetic Curie point were measured. Except for SrTiO₃, the thermal diffusivities are found to mirror the sp. heats, with no evidence for anomalies in the thermal conductivities, contrary to some earlier reports. A steep increase in the thermal cond. is obsd. on passing through the structural transition of SrTiO₃ from below, which is of the same relative size as the steep decrease of sp. heat.

СО

1975

Годовой отчет МТУ
за 1975 г. № зор. 17-41
пагин II

М.Г. Сб. бз

Научн. руков. Терасимов

В.И.

Методист. сб. бз каско

██████████ читок концепт.
шамперианов...

CoO_x

Halstead W.D.

1975

Corros. Sci. 1975, 15(10)

(b)

603-25 (eng)

(all CrO_x ; I)

50917.1827

$\frac{1}{2}Co + 2NiO \rightarrow \frac{1}{2}CoO + 2Ni$ 1975

TC, Ch

(4G) 75543

* 5-9777

Lefebvre Gérard, Dirand Michel, Hertz Jean. Détermination, par la méthode de l'électrode ponctuelle, des courbes d'Ellingham d'oxydation monovalente du cuivre et bivalente du cobalt.

"C. r. Acad. sci.", 1975, C 281, N 2-3,

67-69 (діранц., роз.англ.)

1975

COO

Васильева Н.А. и гр. -

M. gray. Kudr., 1975; 49,

№ 2169-2174

X 1976 № 3

лил № 85 ; 1
1-

70222.5724

Ch. TC

DM 18169/

29862

1976

60 (Kp)

Jensen David E., Jones George A.
Aspects of the Flame chemistry of cobalt,
"J. Chem. Soc. Faraday Trans.", 1976,
Part 1, Vol 72, N 11, 2618-2630 (anell.)

08 17. 0000

962 774

809

ВИДИМЫЕ

BOCK

Om. 22684 !

1977

Eroki E., Hagiwara S.,
Kaneko H., et al.

Kp, AfB; Nippon Kinzoku Fazkhai-
shi, 1977, 41, 505-510.

Studies on the oxidation of
cobalt using a solid-state

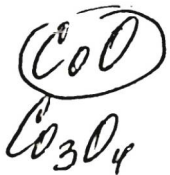
CO(K)

[Or. 22545]

1982

Sosza B., Ochin P., et al;

K_p, 1F; High Temperat. High
Pressures, 1982, 14, 593 - 598



ΔGf

Ommuck 14181

1977

OM. 6003

88: 80129d Thermodynamic stabilities of cobalt oxides.
 Sreedharan, O. M.; Chandrasekharaiah, M. S.; Karkhanavala,
 M. D. (Chem. Div., Bhabha At. Res. Cent., Bombay, India).
High Temp. Sci. 1977, 9(2), 109-18 (Eng). The free energy of
 formation, ΔG_f° , of $\text{CoO}(s)$ and $\text{Co}_3\text{O}_4(s)$ were detd. by the solid
 oxide electrolyte galvanic cell method with both air and
 metal/metal oxide ref. electrodes: $\Delta G_f^\circ(\text{CoO}, s)/\text{kJ mol}^{-1} =$
 $-237.1 + 0.0733 T(K) \pm 0.30$ $1173 \leq T(K) \leq 1352$ and equals
 $-245.9 + 0.0808 T(K) \pm 0.46$ $963 \leq T(K) \leq 1113$; $\Delta G_f^\circ(\text{Co}_3\text{O}_4, s)/\text{kJ}$
 $\text{mol}^{-1} = -953.1 + 0.4225 T(K) \pm 0.86$ $716 \leq T(K) \leq 1095$. A crit.
 analyses of the available information had established the
 suitability of the Co_3O_4 system as a ref. electrode above 1140 K
 for O potential measurement using the solid oxide electrolyte
 galvanic cell method.

C.A., 1978, 88/112

Oct 22 1984

1977

CoO
Cobalt

Eto E., Hagiwara S,
Kaneico H., Saito Y

Up

Nippon Kinzoku

Gankai-shi, 1977, VI, NS, 505-10

Studies on the Oxidation of
Cobalt using a solid-state
galvanic cell

CoO

1977

Kemori N. et al.

46f

Nippon KIRIZOKU
Gakkaishi, 1974,
41 (8), 803-8.

(see: NiO; I)

COO^+

1974

Rosenstock H. M. et al

J. Phys. Chem. Ref. Data,
1974, 6. Suppl. N1, p 1526

T.G.
CBBA

CoO

Co₃O₄

Оттиск 14181
от 6003

1977

11 Б766. Термодинамическая стабильность окислов кобальта. Sreedharan O. M., Chandrasekhan M. S., Karkhanavala M. D. Thermodynamic stabilities of cobalt oxides. «High Temp. Sci.», 1977, 9, № 2, 109—118 (англ.)

Методом э. д. с. с тв. O²⁻-ионным электролитом (ZnO₂+CaO или ThO₂+Y₂O₃) измерены свободные энергии образования CoO и Co₃O₄. Внутренняя согласованность полученных данных подтверждена использованием различных электродов сравнения (Ni, NiO, Fe, Fe_{1-x}O; Cu, Cu₂O; воздух). Отсутствие термо-э. д. с. подтверждалось измерением симм. ячеек. Таблетки исследуемых электродов (Co, CoO или CoO, Co₃O₄) локализовали в изотермич. зоне ±1°. С учетом крит. рас-

термост.
стабильн.

х: 1978/11

смотрения лит. данных в кач-ве рекомендованных принятые ур-ния: $\Delta G^\circ_{обр}$ (CoO, тв.) кдж/моль = $-237,1 + 0,0733T \pm 0,30$ для интервала 1173—1352 К и $-245,9 + 0,0808T \pm 0,46$ для интервала 963—1113 К; $\Delta G^\circ_{обр}$ (Co_3O_4 , тв.) кдж/моль = $-953,1 + 0,4225T \pm 0,86$ для температурного интервала 716—1095 К. Для станд. энталпий образования CoO и Co_3O_4 при 298 К получено $-239,4 \pm 0,5$ и $-925,6 \pm 2$ кдж/моль. Сделан вывод, что система Co, CoO пригодна для использования в кач-ве электрода сравнения при измерении кислородного потенциала в твердоэлектролитных ячейках выше 1140 К.

А. Б. Кисилевский

Сод

Касимовски А. З. и др.

1978

Р.Х

Сообщение Акад. наук
Узб. ССР, 1978, № 2(2), 393-7,



лекс. № 0; I)

CoO

ommunity Fab

1978

Subhadra K.B., et al.

Rs Indian J. Pure and
Appl. Phys., 1978, 16,
693 - 96

CoO

1979

Roi H. et al

T_m

j. mater. sci., 1979, 14, n1,
133-141.

(Teapretur, pacrem T_m, Xopauve corlaco
c excep. T_m) Thermoanaly



(cuv. Al₂O₃; I)

COO

ann marian 766.6, 14193

1929

188
Remorci N., et al
J. Chem. Thermodyn., 1929,
11(3), 215-28.

(res. No. 0; I)

COO

Lommel 8279

1943

Koase, Masanori, et al.

(46f)

Electrochim. Acta 1979,
24(3), 261-6.



Cer. No O₂ - 1

LOCK

(Om. 27808)

1979

Clayers J., Gunter W.D.,

Amer. Mineral., 1979,
64, N1-2, 224-228.

KP, Aft

Соот

(круст.)

G, DMer,

S, DfH;

Регионузеи S. A.,

1979

Периодическая ежедневная
и ежедневно-ежесуточная си-
нусидения с преобразованием
в ежеминутные механики.

Авторизовано
на со-
вершении
стенеи
9.X.1979.
Нлоека, 1979. АПТУ.

CoO

(T_N)

1979

91: 101126c Non-stoichiometry and temperature-dependent magnetic susceptibility of cobalt(II) oxide. Seehra, M. S.; Silinsky, P. (Phys. Dep., West Virginia Univ., Morgantown, WV 26506 USA). *Solid State Commun.* 1979, 31(3), 183-5 (Eng). Magnetic susceptibility χ of several CoO samples was measured at 4.2-350 K. Below ~ 140 K, an addnl. contribution to χ , different for different samples, was obsd. It is proposed that this excess susceptibility is due to an uncompensated moment resulting from deviations from stoichiometry. The estd. χ values for stoichiometric CoO at T the Neel temp. and abs. zero agree with Tachiki's calcns. (1964).

C.A. 1979 G1 N12

P.O

1980

Basu D, et al.

(P.
Dear)

Indian J. Pure and Appl.
Phys., 1980, 18, 204-205

cc. NH4Y-1

CoO

Omnuck 14285

1980

9544

Oppermann H., Stöver G.,
et al.,

металлам.

Z. anorg. Allg. Chem.,
1980, 461, 173-176.



(Cu. Co_3O_4)

Co_3O_4

(CoO)

(ΔH_f , S°)

Ommucu 9544, 14265

1980

V92: 178232d Studies on the thermodynamical behavior of cobalt oxide (Co_3O_4). Oppermann, H.; Stoever, G.; Khriplovitch, L. M.; Paukov, I. E. (Zentralinst. Festkoerperphys. Werkstoffforsch., DAW, DDR-8027 Dresden, Ger. Dem. Rep.). *Z. Anorg. Allg. Chem.* 1980, 461, 173-6 (Ger). The dissoci. pressure was measured above $\text{Co}_3\text{O}_4/\text{CoO}$ in a membrane mull manometer as a function of temp. The evaluation of the dissoci. equil. leads to a discrepancy between the measured coexistence dissoci. pressure and literature data for Co_3O_4 , CoO, and O_2 . The heat of formation and std. entropy of Co_3O_4 are also given.

CA 1980 92 v20

Co-CoO

1980

Volkov S.N. et al.

m. gear.
ct-ba

Zavod. Lab. 1980, 46(10),
916-17

all. Ni-NiO - J

Отмиск 12719

1981

Co

(ΔH_f)
(ΔS_f)

22 Б989. Стандартные данные к термодинамике образования твердой окиси кобальта. Сут Jean Piegte, Dellacherie Jacques, Balesdent Daniel. Standard data for the formation of solid cobaltous oxide. «J. Chem. and Eng. Data», 1981, 26, № 3, 319—321 (англ.)

Проведен крит. анализ опубликованных термодинамич. работ по ΔH (обр.) и ΔS (обр.) CoO (I), выполненных разными методами (сожжение в бомбе, гетерог. равновесия в газ. смесях CO/CO₂, H₂O/H₂, метод э. д. с. с тв. электролитом). Расчеты ΔH (обр.) выполнены по 2- и 3-му законам. Рекомендованы ΔH (обр.), 298 К, (I) = $-237,5 \pm 0,4$ кДж/моль и ΔS (обр.), 298 К, (I) = $-79,6 \pm 0,3$ Дж/моль. В справочнике «Термические константы веществ» (вып. VI, АН СССР) принята ΔH (обр.) = $-238,9 \pm 1,25$ кДж/моль.

Л. А. Резницкий

Х. 1981 № 22, 19 АБ

CoO

DOMMELCK 12.4.19 | 1981

95: 50479v Standard data for the formation of solid cobaltous oxide. Cyr, Jean Pierre; Dellacherie, Jacques; Baledent, Daniel (Ec. Nat. Super. Ind. Chim., 54042 Nancy, Fr.). *J. Chem. Eng. Data* 1981, 26(3), 319-21 (Eng). The most recent compilation of thermodn. properties of cobaltous oxide [1307-96-6] (1970) does not include all of the data now available. A crit. evaluation was made, with new treatment of all data, which lead to the best value for the std. heat of formation of solid CoO: -237,500 ± 400 kJ/mol.

(ΔHf)

C.A. 1981, 95, N6.

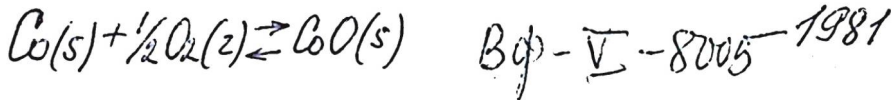
GO

1981

Freer R.

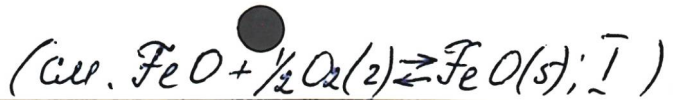
J. Mater. Sci., 1981, 16,
(11), 3225-3227.

(c.c.u. BaO; $\overline{\text{I}\pm}$)



(K_p) Jacobsson Eva, et al.

($\pm 6\%$) Scand. J. Metall. 1981,
10 (1), 39-43.



CoO

1981

Jagadeesh et. S.,
et al.

T_{tz}

J. Appl. Phys., 1981, 52,
N 3, Part 2, 2315-2316.

Copper
Copper

(see. also; ?)

$\text{CoO}(k)$

1981

196: 58802m Thermodynamic study of liquid copper-cobalt alloys. Oishi, Toshio; Ono, Katsutoshi; Moriyama, Joichiro (Fac. Eng., Kyoto Univ., Kyoto, Japan). *Nippon Kinzoku Gakkaishi* 1981, 45(11), 1126-9 (Japan). The std. free energy of formation of $\text{CoO}(s)$ and the activity of Co in liq. Cu-Co alloys were detd. by means of a solid oxide galvanic cell. The activity of Co in the liq. Cu-Co alloys shows a large pos. deviation from Raoult's law. The activity coeff. of Co at infinite diln. was calcd. Oxygen solv. in the liq. alloys in equil. with solid CoO at 1573 K shows a min. of ~ 0.025 mass % at 4-5 atom % of Co.

$(\Delta_f G)$

C.A. 1982, 96, w8

(60ik)

DM. 27245

1981

Schwab R.F., Küstner D.,

Neues Jahrs. Miner.

Afch., 1981, 140, N2,

111-142.

KP, Afch,
78 C

CoO

Co₃O₄

Образование

Tompkins

1981

13 Б1151. Окисление кобальта на воздухе при температурах от комнатной до 467°. Tompkins H. G., Augis J. A. The oxidation of cobalt in air from room temperature to 467° C. «Oxid. Metals», 1981, 16, № 5—6, 355—369 (англ.)

Показано, что окисление Со при т-рах до 100° С и времени до 1000 ч. приводит к образованию пленки $\text{Co}(\text{OH})_2$ толщиной 8—10 Å. В интервале т-р 100—225° С происходит рост СоO по закону корня 4-й степени. При т-рах 225—325° С наблюдается квадратичный закон. При т-ре 425° С возникает смесь CoO и Co₃O₄. Резюме

X. 1982, 19, N13.

600

1982

6 Б3049. Применение окислов в термохимических циклах разложения воды для переработки солнечного тепла. Окислы кобальта. The use of oxides in thermochemical water-splitting cycles for solar heat sources. Cobalt oxides. Jones W. M., Bowman M. G. «Hydrogen Energy Progr. IV. Proc. World Hydrogen Energy Conf. 4th, Pasadena, Calif., 13—17 June, 1982. Vol. 2». Oxford e. a., 1982, 659—664 (англ.)

Исследована причина замедленности р-ции $J_2 + Mg(OH)_2 + 3CoO = MgJ_2 + Co_3O_4 + H_2O$, лежащей в основе одного из термохим. циклов, потенциально применимых для преобразования солнечной энергии. Показано, что замедленность ее можно объяснить тем, что она складывается из двух стадий: $J_2 + Mg(OH)_2 = \frac{5}{6}MgJ_2 + \frac{1}{6}Mg(JO_3)_2 + H_2O$; $\frac{1}{6}Mg(JO_3)_2 + 3CoO = \frac{1}{6}MgJ_2 + Co_3O_4$, причем 2-я из них оказалась замедленной при $150^\circ C$ (т. е. при т-ре проведения процесса).
Ю. В. Плесков:

18(7)

X. 1984, 19, N6

Соз04

5

COOK

1982

Parkratz L.B.

Thermodynamic Properties
of Elements and Oxides

(298-1800) USA Bur. Mines Bull. 672.

● (y.legbegeba)

CoO
Co₃O₄

OTT 22545

1582

Soscal B., Dachin P., Petot-Ervas G.,
High Temp - High Pressures,
1982, 14, 115, 593 - 597

Stability range and electric
conductivity of Co_{1-x}O.

Co₁Co₃O₄

● Daniel P. Peierls
Progressive Techno

600

1982

6 Б3049. Применение окислов в термохимических циклах разложения воды для переработки солнечного тепла. Окислы кобальта. The use of oxides in thermochemical water-splitting cycles for solar heat sources. Cobalt oxides. Jones W. M., Bowman M. G. «Hydrogen Energy Progr. IV. Proc. World Hydrogen Energy Conf. 4th, Pasadena, Calif., 13—17 June, 1982. Vol. 2». Oxford e. a., 1982, 659—664 (англ.)

Исследована причина замедленности р-ции $J_2 + Mg(OH)_2 + 3CoO \rightarrow MgJ_2 + Co_3O_4 + H_2O$, лежащей в основе одного из термохим. циклов, потенциально применимых для преобразования солнечной энергии. Показано, что замедленность ее можно объяснить тем, что она складывается из двух стадий: $J_2 + Mg(OH)_2 = \frac{5}{6}MgJ_2 + \frac{1}{6}Mg(JO_3)_2 + H_2O$; $\frac{1}{6}Mg(JO_3)_2 + 3CoO = \frac{1}{6}MgJ_2 + Co_3O_4$, причем 2-я из них оказалась замедленной при $150^\circ C$ (т. е. при т-ре проведения процесса).

Ю. В. Плесков:

x. 1984, 19, N6

Co₃O₄

5

CoO(k)

1982

Parkratz L.B.

Thermodynamic Properties
of Elements and Oxides

(298-1800) USA Bur. Mines Bull. 672.



(y Negbegeba)

CO

1983

El-Shobaky G.A.,
Choneim N.M., et al.

Thermochim. acta, 1983,
40, N 1-3, 325 - 337.

(au. Co_3O_4 ; I)

60

1983

1 Б3075. Термическая стабильность оксидов кобальта, допированных MgO и Al₂O₃. Thermal stability of cobalt oxides doped with MgO and Al₂O₃. El-Shobaky G. A., Ghoneim N. M., Morsy I. M. «Thermochim. acta», 1983, 67, № 2—3; 293—305 (англ.)

С помощью рентгеновского и ИК-спектроскопич. методов анализа, а также ДТА изучено влияние добавок MgO (I) и Al₂O₃ (II) на термич. стабильность Co₃O₄ (III) и окисляемость CoO (IV). Образцы оксидов Co (чистых и допированных I и II до 6 мол.%) получены прокалкой чистого 5CoCo₃·Co(OH)₂ или смесей его с нитратами Mg или Al на воздухе при 1000° С. Установлено, что добавление II способствует окислению IV до III кислородом пропорционально содержанию II, к-рая р-ряется в решетке III, замещая преимущественно ионы Co⁴⁺ и увеличивает термич. стабильность III. Добавка I уменьшает термич. стабильность III и способность к окислению IV. Катионы Mg²⁺ замещают в решетке III как ионы Co²⁺, так и Co⁴⁺. Л. В. Шведов

термическая
стабильность

(4) 18

Х. 1984, 19, N1

Co₃O₄

CO

1983

Gibanov V. A., Leichtenstein
A. I., et al.

Int. J. Quantum Chem., 1983,
T_N; 23, NY: Proc. 4th. Congr. Quan-
tum Chem., Uppsala, 13-20
June, 1982. Contrib. Pap. Pt 4,
1517-1528. (See H₂; ?)

60

1983

Pedley J.B., Marshall

J. Phys. Chem. Ref.

Data 1983, 12 (4),

• 967-1031.

CoO

Urn. 17823

1983

Schmalzried H.,

mesoagum.
coequum.

yskoi odv.
kicemexeo-
ccemp.

Ber. Bunsenges. Phys.

Chem., 1983, 87, N9,

726 - 733.

Choper

$\text{Co}_{1-x}\text{O}(\text{kp})$ 1983
Schmalzried H.

mesung. Ber. Bunsen-Ges. Phys.
9-p-m. Chem. 1983, 87(9), 726 -
-33.

(cfr. $\text{Fe}_{3-x}\text{O}_4(\text{kp})$; ~~Fig~~)

COO

1983

Singh D.K., Mather
O.P., et al.

Tm, $\text{m}.$ J. Indian Chem. Soc.
1983, 60(X), 407-8.

(Ces. $\text{MnO}_2 \cdot \text{I}$)

Colock)

(Om. 22544)

1983

100: 13391m The standard Gibbs energy of formation of cobalt(II) oxide (solid) at 1450-1600°C. Taskinen, Pekka (Inst. Process Metall., Helsinki Univ. Technol., SF-02150 Espoo, 15 Finland). *Scand. J. Metall.*, 1983, 12(5), 255-6 (Eng). The free energy of formation of CoO [1307-96-6], as function of temp., was derived from emf. measurements at 1450-1590°.

($\Delta_f F$)

c. A. 1984, 100, N2

CoO

1984

Agrawal S. K., Narain J.,
et al.

yp-кис
состав.

Phys. Status Solidi B
1984, 123 (2), 497 - 501.

(cu. MnO; I)

CoO

1984

9 Б3102 Д. О морфологической стабильности плоских фазовых границ в бинарной [системе] кобальт — кислород и в многокомпонентных системах. Über die morphologische Stabilität von ebenen Phasengrenzen im binären Kobaltoxid und in Mehrkomponentensystemen. Martin Manfred. Diss. Dokt. Naturwiss. Fachbereich Chem. Univ. Hannover, 1984. 145 S., ill. (нем.)

Рассмотрены аспекты морфологич. стабильности фазовых границ на примере системы Co—O и нек-рых тройных систем. Если для оксида CoO (I) создан градиент Пт кислорода, то возникает постоянное перемещение катионов и противоположное перемещение вакансий, т. е. кристалл «мигрирует» к стороне с более высокой активностью кислорода. На основе решения диффузационного ур-ния транспорта вакансий м. б. сделан след. вывод для морфологич. стабильности плоских фазовых границ: фазовая граница, на к-рой I восстанавливается,

ж. 1986, 19, №

морфологически нестабильна, и, наоборот, фазовая гра-
нича, на к-рой I окисляется, морфологически стабиль-
на. Рассмотрено также влияние поверхн. натяжения и
диффузии, р-ций на Пв раздела фаз и концентрац. за-
висимости хим. коэф. диффузии. Эти теорет. предпосыл-
ки подтверждены эксперим. данными высокот-рной об-
работке I в различных газ. смесях. Л. Г. Титов



Сод

Панков Н.Е. и др.

1984

(Работа по теме

. Теоретич. и эксп. изучение
фундаментальных физ.-х. свойств
важных газ при низк. Т-рах,
влияние областей газовых переходов
и крит. соотнош.=

C_p (5-300 K)

Co-O_p-r

Jacob

1985

103: 219392h Thermodynamic properties and phase boundaries of cobalt-oxygen solutions. Jacob, K. Thomas; Hajra, Jnan P. (Dep. Metall., Indian Inst. Sci., Bangalore, 560 012 India). Z. Metallkd. 1985, 76(10), 709-13 (Eng). Thermodn. properties of liq. unsatd. Co-O solns. were detd. by electrochem. measurements using (Y₂O₃)ThO₂ as solid electrolyte. Emf. of the cell was measured as a function of O concn. in liq. Co at 1798-1973 K. A least-squares regression anal. of the exptl. data gives the free energy of soln. of O₂ in liq. Co as -84,935 - 7.61 T J/g-atom and self-interaction parameter for O of -97,240/T + 40.52, where the std. state for O is an infinitely dil. soln. in which the activity is equal to at.% and T is abs. temp. The data are compared with those reported in the literature and with the Co-O phase diagram.

(negative)
(Co-8a)

C.A. 1985, 103, N 26

CoO

[DM. 21957]

1985

Jog K.N., Singh R.K.,
et al.,

Чтвркннурн.
опорзоб.
непекоg,
бескор.
забел.

Phys. Rev. B: Condens.
Matter, 1985, 31, N 9,
6047 - 6057.

(предположение), предсказываемый
фазовый переход $B1 \rightarrow B2$ при
давлении 119 GPa для CO

и $\Delta_{\text{f}} H_{\text{NiO}} = 133 \text{ GPa}$

COOK

1985

YANAF

ITuzz, 1985, C.

m.p.

pacem



reprint 1970

Сод(2)

[011 · 22916]

1985

Каземас Э.К., Гиагиров В.К.,
Чемков Ю.В.,

ВИНИТИ №е. N.3377-85,
Москва, 1985.

Масс-спектрометрическое
исследование процессов ис-
парения и диссоциации оксидов
стекла, иссл. № 30, пробопитта,
результаты.

CO

1985

Леонидов В. Г.,
Мегебегов В. А.

А. Н.; "ОБЗ. по менеджм. сбеср -
СИБАУ: БЕСЕСМБ" (Москва),
1985, № 6/56, 37-81.

(али. Cu_2O ; I)

Оксиды Co

Leonidov

1985

CC: 159759n Heats of formation of copper and cobalt oxides.
Leonidov, V. Ya.; Medvedev, V. A. (USSR). *Obz. po Teplofiz.*
Kristal Veshchestv, Moskva 1985, (6/56), 37-81 (Russ). From
Zh. Khim. 1986. Abstr. No. 13B3016. Title only translated.

($\Delta_f H$)

H₁₈ Оксиды Cu ($\Delta_f H$)

C.A. 1986, 105, N18

СоO

1985

19 Б3015. Термодинамические свойства закиси кобальта в интервале 5—328 К. Набутовская О. А., Опперман Г., Паукова И. Е., Хриплович Л. М. «Ж. физ. химии», 1985, 59, № 5, 1253—1254

В адиабатич. калориметре измерена теплоемкость CoO в интервале т-р 5,4—327,94 К. Рассчитаны значения термодинамич. функций. При станд. условиях получены $C_{p,m}^{\circ}$ (298,15 К) = $55,40 \pm 0,05$ Дж/моль·К, S° (298,15 К) = $52,83 \pm 0,1$ Дж/моль·К, H° (298,15 К) — H° (0 К) = 9449 ± 15 Дж/моль, Φ° (298,15 К) = $21,14 \pm 0,05$ Дж/моль·К. Энтропия и энтальпия магнитного фазового перехода составляют: S (330 К) — S (140 К) = $= 7,82 \pm 0,8$ Дж/моль·К и H (330 К) — H (140 К) = $= 1950 \pm 200$ Дж/моль. Максим. теплоемкость, наблюдалася при т-ре 288,54 К $\pm 0,01$ К, равна 77,45 Дж/моль·К.

Автореферат

у. 1985, 19, N 19.

[85-ИАБ/0177]

Co

1985

103: 76973k Thermodynamic properties of cobalt monoxide at
5-328 K. Nabutovskaya, O. A.; Oppermann, H.; Paukov, I. E.;
Khriplovich, L. M. (Inst. Neorg. Khim., Novosibirsk, USSR). *Zh.
Fiz. Khim.* 1985, 59(5), 1253-4 (Russ). A vacuum adiabatic
calorimeter was used to measure the heat capacity of CoO. The entropy,
enthalpy and free energy values were calcd. The temp. of
antiferromagnetic ordering was estd. to be 288.54 ± 0.01 K.

$\rho, \delta\rho, \delta\delta,$
 $H-H, T_{cr},$

C.A. 1985, 103, N10.

60

1985

№ 9 Е360. Термодинамические свойства закиси кобальта в интервале 5—328 К. Набутовская О. А., Опперман Г., Пауков И. Е., Хриплович Л. М. «Ж. физ. химии», 1985, 59, № 5, 1253—1254

В вакуумном адиабатич. калориметре измерена теплоемкость CoO в интервале т-р 5,4—327,94 К. Рассчитаны значения энтропии, энтальпии и энергии Гиббса. Определена т-ра антиферромагнитного упорядочения. Резюме

C_p

7/суркал 2-й
о ОИ

окт 1985, 18, № 9.

CoO

[Om. 22546]

1985

З Б3031. Высокотемпературное определение стандартной свободной энергии Гиббса системы Co—O с помощью измерений э. д. с. Статистический подход к оценке надежности методов тока. High temperature standard gibbs free energy determinations for Co—O systems by E. M. F. measurements. A statistical approach to evaluate the reliability of the current methods. Nagducci D., Negroni F., Mari C. M. «Mater. Chem. and Phys.», 1985, 12, № 4, 377—388 (англ.)

С помощью измерений э. д. с. гальванич. ячейки определены станд. свободные энергии Гиббса ΔG_f° для след. р-ций: $\text{Co} + 1/2 \text{O}_2 \rightleftharpoons \text{CoO}$ (I) (1), $3 \text{I} + 1/2 \text{O}_2 \rightleftharpoons \text{Co}_3\text{O}_4$ (II) (2), $3 \text{Co} + 2 \text{O}_2 \rightleftharpoons \text{III}$ (3). Приведено описание и схема эксперим. установки и схема твердофазной гальванич. ячейки. Изменение энергии Гиббса для р-ций



X. 1986, 19, N 3

(1)–(3) описываются ур-ниями: ΔG_f^0 (ккал/моль) =
= $-54,69 + 16,22 \cdot 10^{-3} T$ (К) $\pm 0,08$; ΔG_f^0 (ккал/моль) =
= $-41,15 + 33,50 \cdot 10^{-3} T$ (К) $\pm 0,27$ и ΔG_f^0 (ккал/моль) =
= $-205,22 + 82,16 \cdot 10^{-3} T$ (К) $\pm 0,35$ соотв. Построена
фазовая диаграмма системы Со—I—II в интервале т-р
600–900° С и парц. давл. $O_2 \sim 10^{-1} \sim 10^{21}$. Проведен
статистич. анализ значений ΔG_f^0 при 1100 К для
р-ции (1) на основе эксперим. значений и лит. данных.

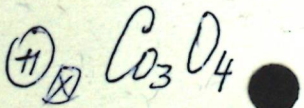
Л. Г. Титов

Co

(Om. 22546) 1985

102: 226849v High temperature standard Gibbs free energy determinations for cobalt-oxygen systems by e.m.f. measurements. A statistical approach to evaluate the reliability of the current methods. Narducci, D.; Negroni, F.; Mari, C. M. (Dip. Chim. Fis. Elettrochim., Univ. Studi Milano, 20133 Milan, Italy). *Mater. Chem. Phys.* 1985, 12(4), 377-88 (Eng). The free energies of the reactions $\text{Co} + 1/2 \text{O}_2 \rightleftharpoons \text{CoO}$; $3 \text{CoO} + 1/2 \text{O}_2 \rightleftharpoons \text{Co}_3\text{O}_4$; and $3 \text{Co} + 2\text{O}_2 \rightleftharpoons \text{Co}_3\text{O}_4$ were calcd. from emf. measurements carried out by using a simple compartment solid-state galvanic cell. The dependence of free energy on temp. is given for each reaction. A phase diagram is proposed for Co, CoO and Co_3O_4 for 600-900°.

(126)



C.A. 1985, 102, N26

Co

Bergman B.

1986

106: 73743m Thermodynamic assessment of the system cobalt monoxide-manganese monoxide. Bergman, Bill; Aagren, John (Div. Phys. Metall. Ceram., R. Inst. Technol., S-100 44 Stockholm, Swed.). *J. Am. Ceram. Soc.* 1986, 69(12), 877-81 (Eng). The thermodn. properties of pure CoO and CoO-MnO solid solns. were analyzed in terms of thermodn. models applied to various exptl. data. Expressions for the Gibbs energy of the individual phases were obtained and the phase diagram calcd. It reveals a homogeneous solid soln. at temps. above room temp. but a miscibility gap at very low temps.

replies

CB-PR



C.A. 1987, 106, N10

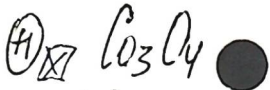
60

1986

22 Б3098. Равновесное давление кислорода над $\text{Co}_3\text{O}_4 + \text{CoO}$ от 1173 до 1228 К. Equilibrium oxygen pressure of $(\text{Co}_3\text{O}_4 + \text{CoO})$ from 1173 to 1228 K. Grimsley E. J., Reynolds K. A. «J. Chem. Thermodyn.», 1986, 18, № 5, 473—476 (англ.)

Метод ТГА применен для определения давления O_2 над гетерог. смесью $\text{CoO} + \text{Co}_3\text{O}_4$ в интервале 1173—1228 К. Скорости нагревания и охлаждения составляли $0,03—1 \text{ Кс}^{-1}$. Для р-ции диссоциации $\text{Co}_3\text{O}_4 = 3\text{CoO} + 0,5 \text{O}_2 \lg P(\text{O}_2)$, кПа = $(19720 \pm 220)/T + (18,06 \pm 0,18)$, что соответствует ΔG , кДж = $(188\ 770 \pm 200) - (153,67 \pm 1,72)/T$. Л. А. Резницкий

$K_p, \Delta G$



X. 1986, 19, N 22

COOK

[Om. 26812]

1986

Holmes R.P., O'Neill H.S.T.C.,
Fraser R.J.,

$\delta_{P,\text{SF}}$, Geochim. et Cosmochim.
 $\delta_{S,SHT}$, Acta, 1986, 50, 2449-2452.

($\text{Cu}_2\text{O}; \text{I}$) (Берилл
радио не магн.)

CoO

1986

2 E301. Нестепенная зависимость теплоемкости CoO в области сильных флуктуаций. Nonpower-law behaviour in the heat capacity of CoO in the vicinity of strong fluctuations. Nabutovskaya O. A., Kholopov E. V., Paukov I. E. «Phys. status solidi», 1986, A96, № 1, K57—K60 (англ.)

Теплоемкость поликристаллических образцов CoO вблизи температуры Нееля измерена с высокой точностью, достаточной для проверки теоретических предсказаний относительно температурной зависимости теплоемкости. Показано, что критические индексы, описывающие предельное термодинамическое поведение вследствие сильных флуктуаций, остаются в силе и выше критической температуры, однако они зависят от температуры, что согласуется с предсказаниями теории.

Б. Оскотский

Журнал есть в ОХН

ББ

cf. 1987, 18, № 2

CoO(k)

Kasymov et al.

1986

105: 86052q Nonpower-law behavior in the heat capacity of cobalt monoxide in the vicinity of strong fluctuations. Nabutovskaya, O. A.; Kholopov, E. V.; Paukov, I. E. (Inst. Inorg. Chem., Acad. Sci., 630090 Novosibirsk, USSR). *Phys. Status Solidi A* 1986, 96(1), K57-K60 (Eng). A technique describe earlier (O. A. Nabatovskaya et al., 1985) was used to measure the heat capacities (C_p) of polycryst. specimen of CoO [1307-96-6] in order to derive a precise C_p vs. temp. (T) expression, esp. near the Neel point and to define the crit. indexes which describe the limiting thermodn. behavior in presence of strong fluctuations.

C_p ;

c.a. 1986, 105, N10

60

1986

12 Б3043. Расчет стандартной свободной энергии Гиббса оксидов кобальта по третьему закону из измерений э. д. с. A third law method for the assessment of standard Gibbs energy data on cobalt oxides from E. M. F. measurements. Sreedharan O. M., Mallika C. «Mater. Chem. and Phys.», 1986, 14, № 4, 375—384 (англ.)

В силу меньшей т-рной зависимости ф-ций свободной энергии $[\Phi = \frac{1}{2}(G_t^\circ - H_{298}^\circ)/T]$ расчет ΔH_{298}° из эксперим. высокот-рных значений ΔG_t° по ур-нию $\Phi = (\Delta G_t^\circ - \Delta H_{298}^\circ)/T$ более надежен, чем экстраполяция зависимости 2-го закона $\Delta G_t^\circ = \Delta H - T\Delta S$. Техника обработки лит. эксперим. данных, полученных методом э. д. с тв. O^{2-} -ионным электролитом, демонстрируется на примере оксидов кобальта. Для соотв. р-ций получено: $Co(tв.) + 0,5O_2 = CoO$ (тв.) ΔG_t° (кДж/моль) = $-233,53 \pm 0,07050T \pm 0,60$ (1173—1352 К); 3 CoO (тв.) + $0,5O_2 = Co_3O_4$ (тв.) $\Delta G_t^\circ = -214,86 + 0,17950T \pm 0,50$ (716—

ΔG, ΔH;

(716)

X. 1986, 19, N 12 Co_3O_4

1095 K), откуда по 3-му закону для образования CoO и Co_3O_4 найдены $-\Delta_f H_{298}^\circ = 237,72 \pm 0,66$ и $920,03 \pm 2,60$ кДж/моль. Расчет ΔH_{298}° служит и для проверки согласованности данных по э. д. с. различных авторов. Согласие с калориметрич. данными контролируется соотв. расчетом энтропий компонентов. А. С. Гузей

дспл.
ш.

60

Harding

1987

11 Б3041. Вычисление термодинамических и транспортных свойств оксида кобальта. Calculation of thermodynamic and transport processes in cobalt oxide / Harding J. H., Tarento R. J. // Nonstoichiometr. Compounds: Proc. 4th Int. Adv. Res. Workshop Nonstoichiometr. Compounds, Keele; Sept. 1—5, 1986.— Westerville (Ohio), 1987.— С. 239—246.— Англ.

Свободная энергия образования дефектов V''_{Co} , V'_{Co} и V_x^{Co} в обозначениях Крёгера и Винка и транспортные св-ва CoO (I) вычислены с использованием ранее предложенной модели дефектообразования по компьютерной программе HADES. В основу расчетов положено представление о кристалле как диэлектрич. континууме, ионы к-рого релаксируют около положений равновесия. Вычислены конц-ии дефектов, коэф. самодиффузии $D \cdot 10^{12} \text{ м}^2/\text{с}$ для V''_{Co} и V'_{Co} , равные 2,58 и 1,29, соотв. Расчетная энталпия образования дефектов и энталпия миграции хорошо совпадают с эксперим. данными.

Л. А. Резницкий

термодин.
и
транспорти.
св-ва

X. 1990, N 11

CoO

(OM-29546)

1987

O'Neill H. St.

1 Gf;

Amer. Miner., 1987,
72, N3-4, 280-291.

(cer.  NiO; —)

Co_{1-y}O

Nowotny

1989

- 1 6 Б2310. Дефектная структура монооксида кобальта. Ч. I. Модель идеальных дефектов. Defect structure of cobalt monoxide: I, The ideal defect model / Nowotny Janusz, Rekas Mieczyslaw // J. Amer. Ceram. Soc.—1989.—72, № 7.—С. 1199—1207.—Англ.

В рамках модели идеальных дефектов, использующей эксперим. данные, проведено изучение нестехиометрии и электрич. св-в Co_{1-y}O в зависимости от парц. давл. кислорода p_{O_2} и конц-ии примесей. Анализ показывает, что эту модель можно использовать лишь в кач-ве 1-го приближения для описания дефектной структуры при низких p_{O_2} и высоких т-рах до значения $y \approx 0,1\%$ ат. Для объяснения поведения электропроводности Co_{1-y}O привлечена модель, учитывающая вз-вие между дефектами.

Ф. М. Спиридонов

Структура

Р. 1991. № 6

Со_{1-y}O

Nowotny

1989

14 Б2253. Дефектная структура монооксида кобальта. Ч. II. Модель Дебая-Хюкеля. Defect structure of cobalt monoxide. II, The Debye-Hückel model / Nowotny Janusz, Rekcis Mieczyslaw // J. Amer. Chem. Soc.—1989.—72, № 7.— С. 1207—1214.— Англ.

Для описания дефектной структуры Co_{1-y}O привлечена теория сильных, электролитов Дебая-Хюкеля (Д-Х) в предположении, что в исследуемых условиях ($T > 1000$ К, $10^{-2} < \rho_0 < 10^7$ Па) преобладающими ионными дефектами решетки являются двукратно ионизированные вакансии $\text{V}_{\text{Co}}^{''}$. Показано, что при $y > 0,1\%$ ат. вз-вие между дефектами хорошо описывается моделью Д-Х, благодаря к-рой достигнуто хорошее согласие с эксперим. в значит. интервале отклонений от стехиометрии. На основании эксперим. и лит. данных для CoO сделан вывод о применимости модели Д-Х для описания дефектной структуры нестехиометрич. материалов.

Ф. М. Спиридонов

дефектная
структур

ж. 1991, № 4

Сору

Nowotny

1989

) 4 Б2254. Дефектная структура монооксида кобальта. Ч. III. Кластерная модель. Defect structure of cobalt monoxide. III. The cluster model / Nowotny Janusz, Rekas Mieczyslaw // J. Amer. Ceram. Soc.— 1989.— 72, № 7.— С. 1215—1220.— Англ.

Для описания лит. эксперим. данных по отклонениям от стехиометрии (y), электропроводности и коэф. Зеебека для Co_{1-y}O привлечена кластерная модель, предполагающая образование кластеров типа $4:1$ $[(\text{V}_{\text{Co}})_4 \cdot \text{Co}_i^{3+}]^{5-}$ при $y > 0,1\%$ ат. и сделан вывод, что эта модель описывает лишь часть области устойчивости оксида кобальта. Отмечено, что модель Дебая-Хюккеля имеет более общий характер и выполняется в более широком интервале значений y , тогда как модель идеальных дефектов и кластерная модель имеют существенные ограничения. В частности, последняя справедлива только при значит. отклонениях от стехиометрии. Ч. II см. пред. реферат.

Ф. М. Спиридонов

дефектная
структур

X. 1991, N 4

Co_{1-δ}O

1989

(Ref 32466)

111: 65153g Thermodynamics of cobalt oxide (Co_{1-δ}O). Picard, C.; Gerdanian, P. (Lab. Comp. Stoechiometr., Univ. Paris-Sud, 91-105 Orsay, Fr.). *J. Phys. Chem. Solids* 1989, 50(4), 383-94 (Eng). The relative partial enthalpy of O in Co_{1-δ}O ΔH(O₂), was measured directly by high-temp. microcalorimetry of reaction between oxide and oxydo-reducing gaseous mixts. The exptl. results show a max. near the stoichiometric compn. which is certainly due to the appearance of a new kind of defect at δ → 0. The results are used to carry out a thermcdn. test of the defect formation energy calcd. by simulation techniques, which turns out to be neg. A tentative interpretation of the thermodn. and other macroscopic properties of Co_{1-δ}O was carried out within the framework of the Debye-Hueckel approxn. and discussed as compared with the ideal mass action law approxn. The conclusion being that none of these methods is satisfactory.

memnos-Cb-PA

C.A. 1989, 111, N8

Рт-δО

07.32466 1989

1 Б3018. Термодинамика $\text{Co}_{1-\delta}\text{O}$. Thermodynamics of $\text{Co}_{1-\delta}\text{O}$ / Picard C., Gerdanian P. // J. Phys. and Chem. Solids.— 1989.— 50, № 4.— С. 383—394.— Англ.

Энталпия взаимодействия $\text{Co}_{1-\delta}\text{O}$ с газ. смесями CO_2/CO и N_2/O_2 с различным парц. давлением O_2 определена в микрокалориметре Кальве при 1000°C . Изменены теплоты р-ций $\alpha\text{CoO}_{1+x} + \beta\text{CO}_2 = \alpha\text{CoO}_{1+x'} + \beta\text{CO}$ и $\alpha\text{CoO}_{1+x} + \beta/2\text{O}_2 = \alpha\text{CoO}_{1+x''}$, где $x' = x + \beta/\alpha$. Определены парц. мольные энталпии р-рения $\Delta H(\text{O}_2)$ в оксиде нестехиометрич. состава при разной дефектности. $\Delta H(\text{O}_2)$ при $(\text{O}/\text{Co})=1$ составляет -461 кДж/моль, ΔH возрастает с увеличением x в интервале $0 \leq x \leq 0.5 \cdot 10^{-4}$, проходя через максимум при малых δ . Предполагается появление нового типа дефектов при $x \rightarrow 0$, энталпия образования к-рых отличается от $\Delta_f H$ доминирующих дефектов при значит. отклонениях от стехиометрии. Этот новый тип дефектов предположительно Co_i^2 в соответствии с изменением коэф. Зеебека при разных $P(\text{O}_2)$. Попытки расчета макроскопич. св-в $\text{Co}_{1-\delta}\text{O}$ с применением приближения Дебая — Хюкеля и закона действующих масс не привели к хорошему согласию с эксперим. данными. Л. А. Резницкий

Термодинамика —
исследование

Х, 1990, № 1

Со_{1-δ}O

от 32466 1989

1 E811. Термодинамика Со_{1-δ}O. Thermodynamics of
Co_{1-δ}O / Picard C., Gerdanian P. // J. Phys. and Chem.
Solids.— 1989.— 50, № 4.— С. 383—394.— Англ.

Методом высокотемпературной реакционной микролориметрии реакций между оксидом и окислительно-восстановительными газовыми смесями проведены прямые измерения относительной парциальной энталпии кислорода в Со_{1-δ}O. Эксперим. результаты показывают наличие максимума при составах, близких к стехиометрическому, который обусловлен появлением нового типа дефектов при $\delta \rightarrow 0$. Полученные результаты использованы для проведения термодинамич. оценки величины энергии образования дефектов. Расчеты показали, что она имеет отрицат. значения. Примерная интерпретация термодинамических и других макроскопич. свойств Со_{1-δ}O проведена в рамках модели Дебая—Хюкеля. Установленные закономерности сравниены с результатами аппроксимации на основании закона действующих масс. Сделан вывод, что ни один из рассмотренных подходов удовлетворительно не описывает указанные свойства. Библ. 40.

А. И. Зайцев

φ. 1990, № 1

(ΔH)

CoO

Гричс

1991

12 E697. Полиморфизм окиси кобальта: Polymorphs of cobalt oxide / Grimes Robin W., Lagerlöf K. Peter D. // J. Amer. Chem. Soc.— 1991.— 74, № 2.— С. 270—273.— Англ.

Род. Зелт.

и уч. 310 °C

(Fe₂)

*Синтезировано
наш !*

сп. 1991, № 2

Проведенное методами ПЭМ, рентгенодифрактометрии и измерения диэлектрич. постоянных исследование показало, что CoO имеет три полиморфные модификации. При 290°С присутствует только модификация со структурой цинковой обманки (кубич. решетка, $a = 0,455$ нм). При более высоких т-рах — структура красной соли (кубич. решетка, $a = 0,4267$ нм) и структура вюрцита (гексаг. решетка, $a = 0,321$ нм, $c = 0,524$ нм). Каждая из модификаций характеризуется своей морфологией. Расчет энергий различных модификаций CoO показал, что они близки: —39,92 эВ для структуры красной соли, —39,65 эВ — вюрцита и —39,55 эВ — для цинковой обманки. Соответственно, наиболее стабильной является структура красной соли, наименее стабильной — структура цинковой обманки.

[919RI/LAY]

Редукции упаковки. Образование CO
при терм. диссоциации аустенита, полученного
при 290°C, 310°C и 320°C, - это
процессы могут быть механизированы
как при упаковке в вакууме (C.T. Wall)

- C.

$\text{Co}_{1-\delta} \text{O}$

1993

Tetot R., Nacer B., et al.

J. Phys. Chem. Solids

reprint. 1993, 54(5), 517 - 25.
cb-fa

( $\text{Ni}_{1-\delta} \text{O}$; I)

CoO

1993

Watanabe H.

Thermochim. Acta

(C_p
 $T = 120 \div 480 K$) 1993, 218, 365-72.

(aer. Ni; \bar{I})

COO

1994

Glorieux C., Caerels J.,
et al.

(Panzer) J. Phys. IV 1994, 4;
267-70.

(crys. Cr_2O_3 ; ?)

CoO

1995

Kazeras E.K., Tagirov V.K.

Metally 1995, (2),

31-7.

(AsH_298)



(cels. FeO; i)

60

1996

24Б3153. Влияние нестехиометрии на режим окисления монокристаллов $\text{Co}_{1-\delta}\text{O}$ и слоистых эвтектик $\text{CoO}-\text{ZrO}_2(\text{CaO})$. Influence of non-stoichiometry on the oxidation behaviour of $\text{Co}_{1-\delta}\text{O}$ single crystals and $\text{CoO}-\text{ZrO}_2(\text{CaO})$ lamellar eutectics / Lafleurielle M., Millot F., Dhalenne G., Revcolevschi A. // Solid State Ionics.— 1996.— 89, № 1-2.— С. 139-145.— Англ.

Проведено сравнительное исследование режима окисления монокристалла $\text{Co}_{1-\delta}\text{O}$ в Co_3O_4 при 800°C и ориентированных образцов эвтектик $\text{CoO}-\text{ZrO}_2(\text{CaO})$, показывающих различные отклонения δ от стехиометрии перед окислением. Найдено, что режим окисления прямо связан с величиной δ -отклонения от стехиометрии и предложена простая модель, к-рая объясняет эксперим. данные.

В. Ф. Байбуз

(7) 17
X. 1997, N 24



Co_3O_4